



Departamento de Física
Universidade Federal de Pernambuco
Recife, PE

Condensação de Bose-Einstein de magnons excitados por micro-ondas

Sergio M. Rezende

Colóquio do Instituto de Física da USP

17/09/2009

Tributo a Hercílio Rechenberg



Sumário

- 1- Condensação de Bose-Einstein
- 2- Ondas de spin em filmes ferro(ferri)magnéticos
- 3- Estados coerentes de magnons
- 4- Evidências experimentais de BEC de magnons em T ambiente excitados por micro-ondas
- 5- Teoria de BEC em sistema de magnons interagentes
- 6- Comparação da teoria com resultados experimentais

1- Condensação de Bose-Einstein

Classificação de partículas em mecânica estatística

Férmions

Cada estado quântico só pode ser ocupado por 0 ou 1 fermion

Ex: elétrons, prótons, pósitrons, buracos (em semicondutores)

Bosons

Um mesmo estado quântico pode ser ocupado por um número arbitrário de bosons

Ex: fótons, fonons, magnons, poláritons, etc

1- Condensação de Bose-Einstein

Probabilidade estatística de ocupação de estados quânticos com momentum p e energia ε_p em temperatura T

Fermions

$$n_{FD}(\varepsilon_p, T) = \frac{1}{e^{(\varepsilon_p - E_F)/k_B T} + 1}$$

Bosons

$$n_{BE}(\varepsilon_p, T) = \frac{1}{e^{\varepsilon_p/k_B T} - 1}$$

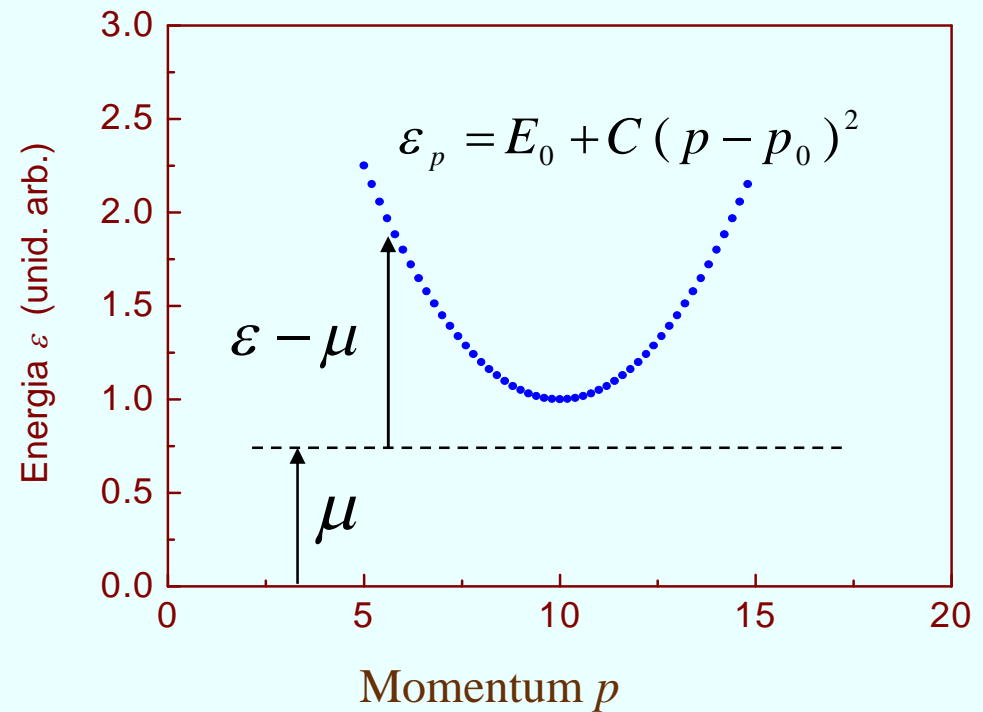
1- Condensação de Bose-Einstein

Sistema de bosons com número fixo de partículas N

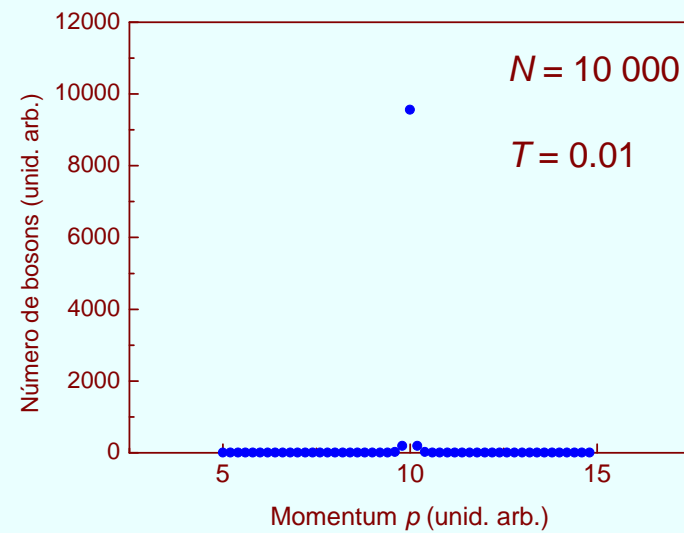
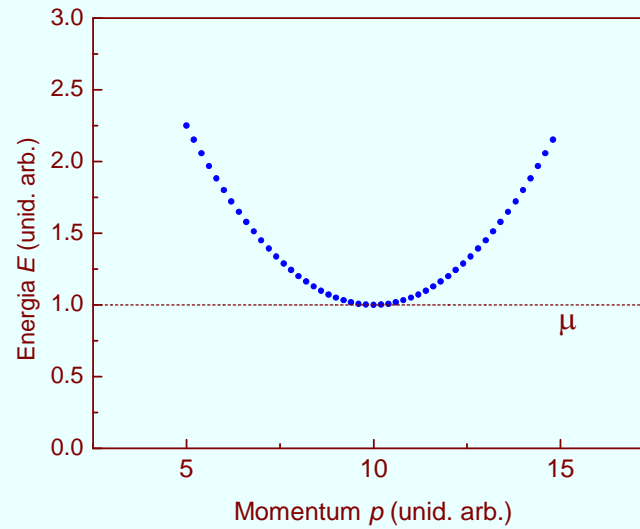
$$n_{BE}(\varepsilon_p, T) = \frac{1}{e^{(\varepsilon_p - \mu)/k_B T} - 1}$$

$$\sum_p n_{BE}(\varepsilon_p, T) = N$$

μ = potencial químico



1- Condensação de Bose-Einstein



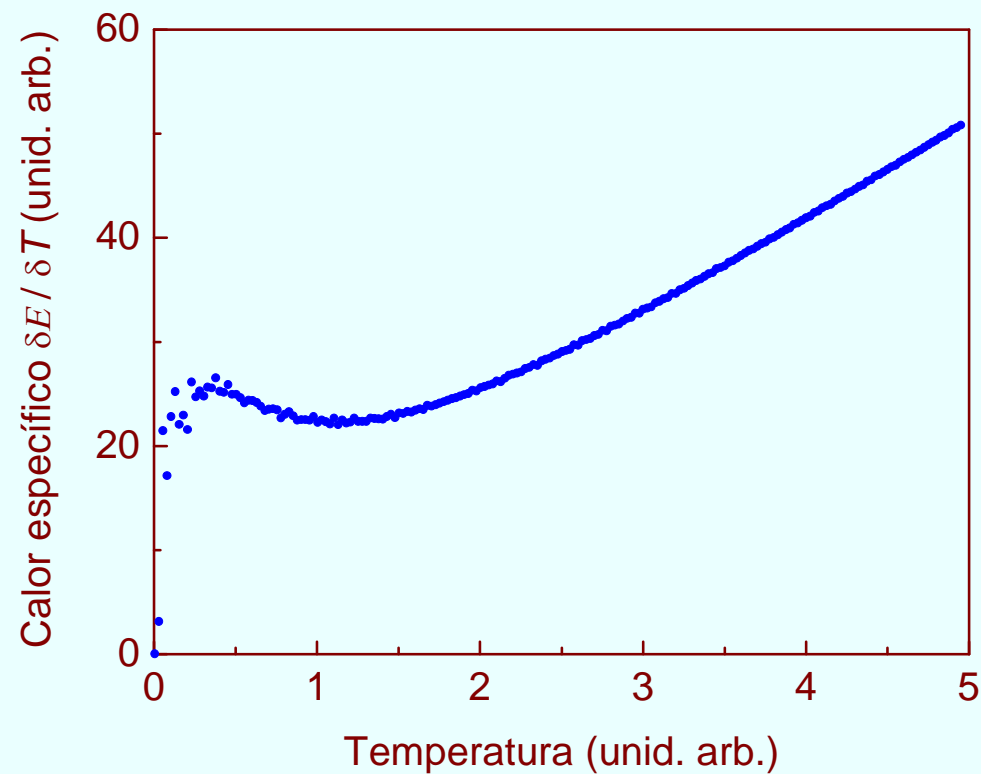
1- Condensação de Bose-Einstein

Energia total

$$E = \sum_p \varepsilon_p n_{BE}(\varepsilon_p, T)$$

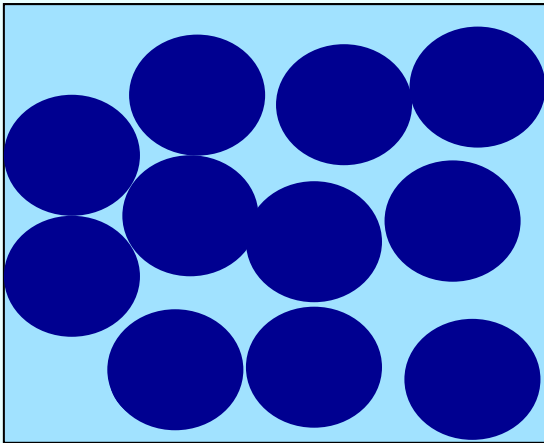
Calor específico

$$C = \frac{\partial E}{\partial T}$$

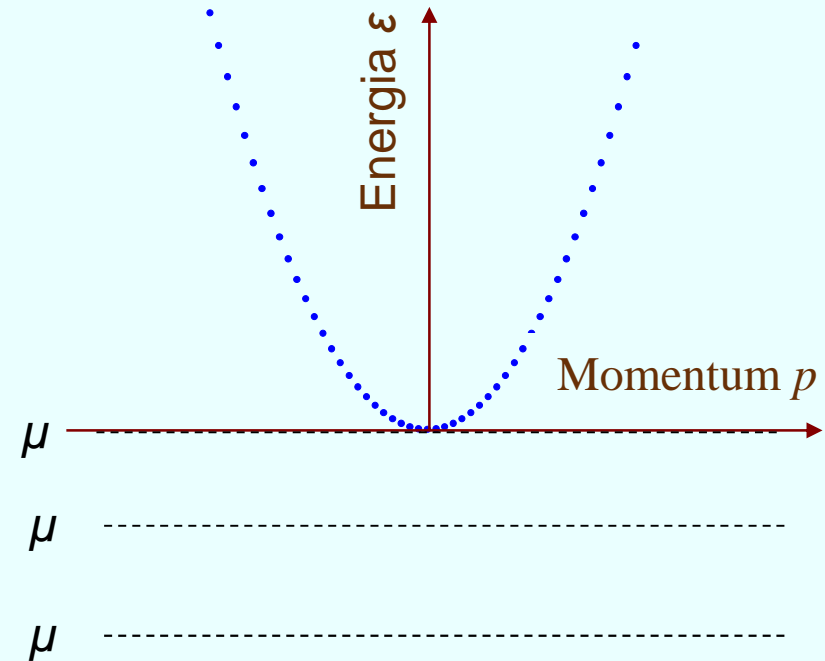


1- BEC em gas ideal 3-d gas de partículas

N partículas

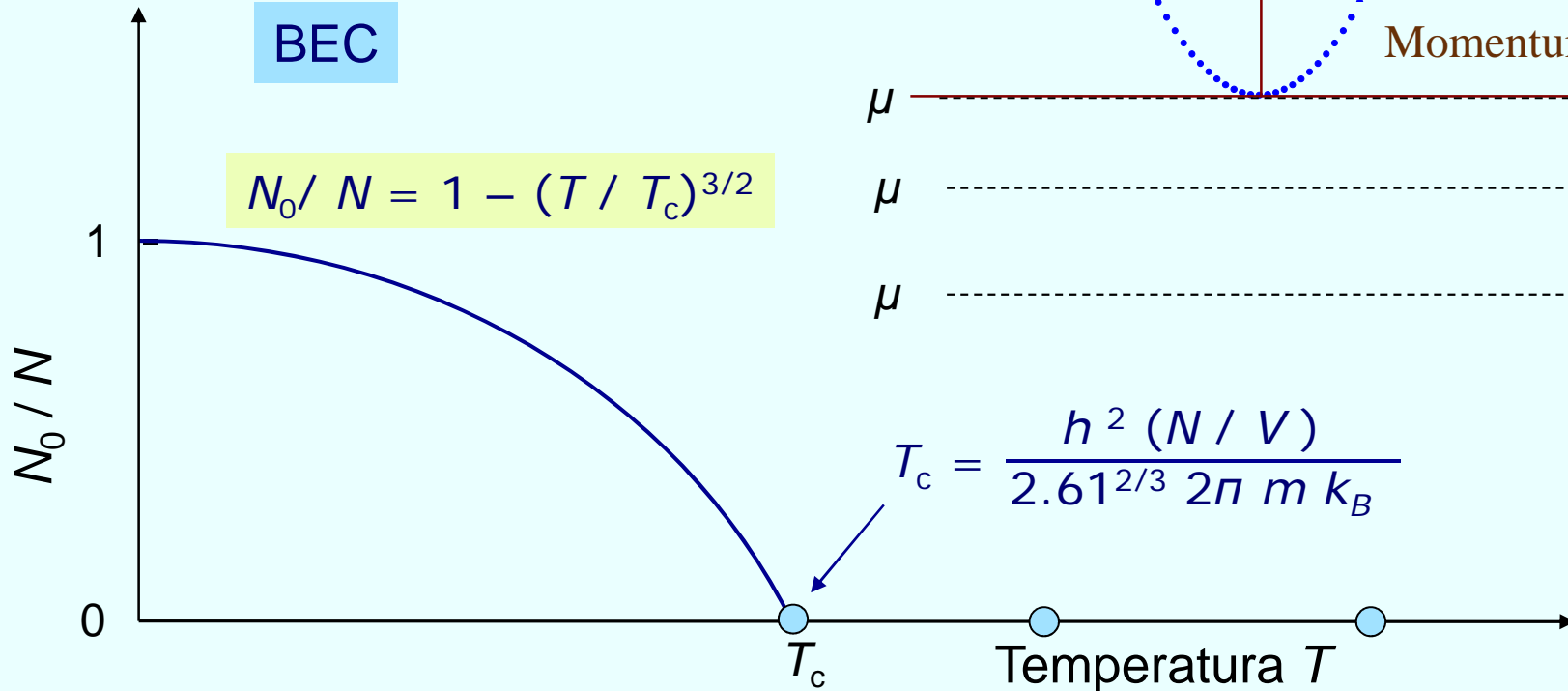


$$\sum \frac{1}{e^{(\varepsilon - \mu)/k_B T} - 1} = N \quad T \downarrow \quad \mu \uparrow$$



BEC

$$N_0 / N = 1 - (T / T_c)^{3/2}$$



$$T_c = \frac{h^2 (N / V)}{2.61^{2/3} 2\pi m k_B}$$

1- Condensação de Bose-Einstein

Um BEC é formado quando uma população macroscópica de bosons ocupa o mesmo estado quântico (ou um pequeno número)

- ❑ O BEC é caracterizado por uma transição de fase
- ❑ O BEC tem uma função de onda única- parâmetro de ordem
- ❑ O número de BEC N_0 é próximo do número de partículas

BEC previsto teoricamente por Einstein em 1924 para partículas obedecendo a estatística de Bose, fótons.

BEC explica a transição de ^4He para superfluido em $T < 2,17 \text{ K}$

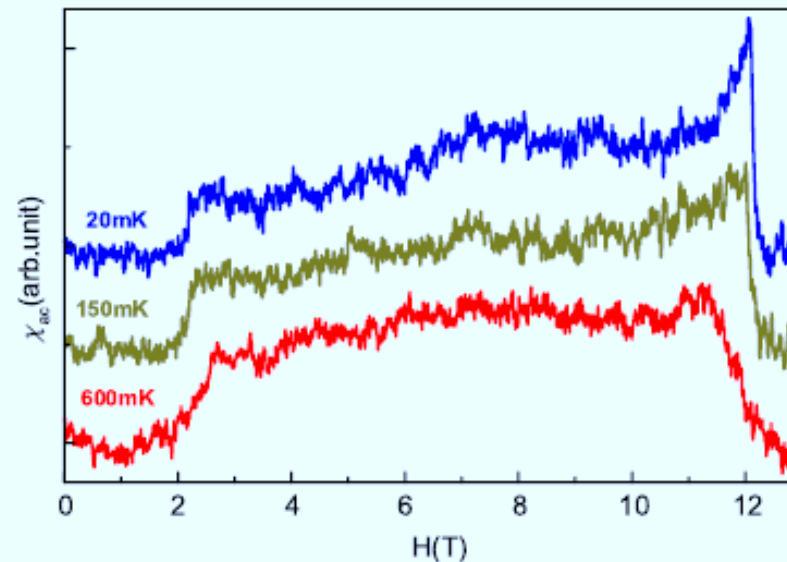
BEC observado em 1995 em gás de átomos de ^{87}Rb esfriados por laser (Anderson *et al.*)

1- Condensação de Bose-Einstein

BEC de magnons observado em materiais com ordenamento 1d em campos magnéticos intensos e baixas T :

TiCuCl₃ – 1999 (Giamarchi *et al.*)

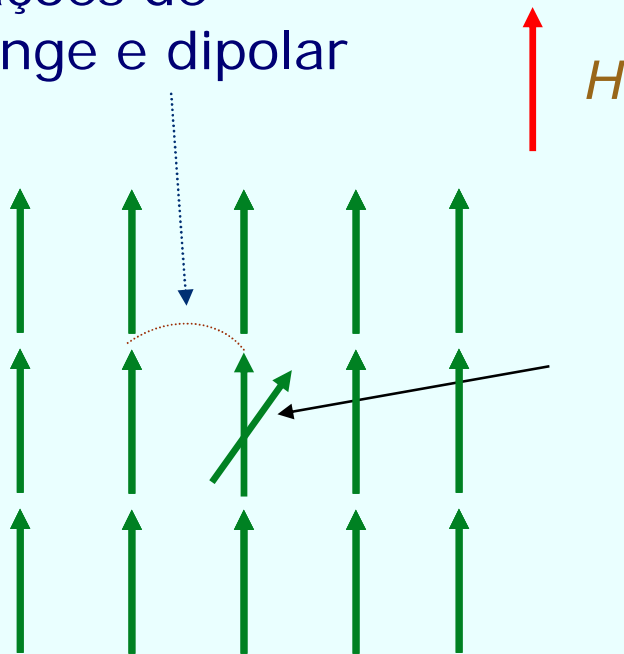
BaCu₂SiO₆ – 2004 ; NiCl₂-4SC(NH₂)₂ – 2005 (M. Jaime, A. Paduan-Filho, *et al.*)



BEC observado em filmes de YIG (Yttrium Iron Garnet- $Y_3Fe_5O_{12}$) excitados por micro-ondas em T ambiente em 2006

2- Ondas de spin ferromagnetos

Interações de
exchange e dipolar



Desvio de spin localizado
não é o auto-estado de
menor energia

Os auto-estados do sistema de spins acoplados
são desvios de spin coletivos: ondas de spin

2- Ondas de spin: tratamento semi-clássico

Equação de Landau-Lifshitz

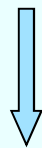
$$\frac{d\vec{M}}{dt} = \gamma \vec{M} \times \vec{H}_{tot}$$

$$\vec{H}_{tot} = \vec{H} + \vec{H}_{dip} + \vec{H}_{exch}$$

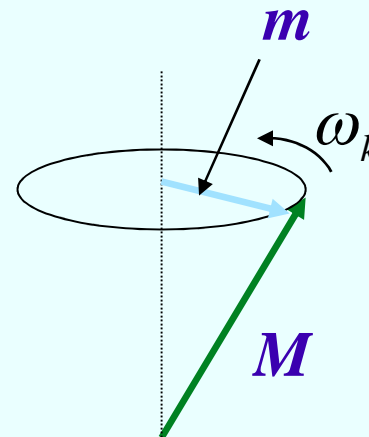
$$\vec{M} = \hat{z} M_z + \hat{x} m_x + \hat{y} m_y$$

$$m_{x,y} = g\mu_B (N/V) S_{x,y}$$

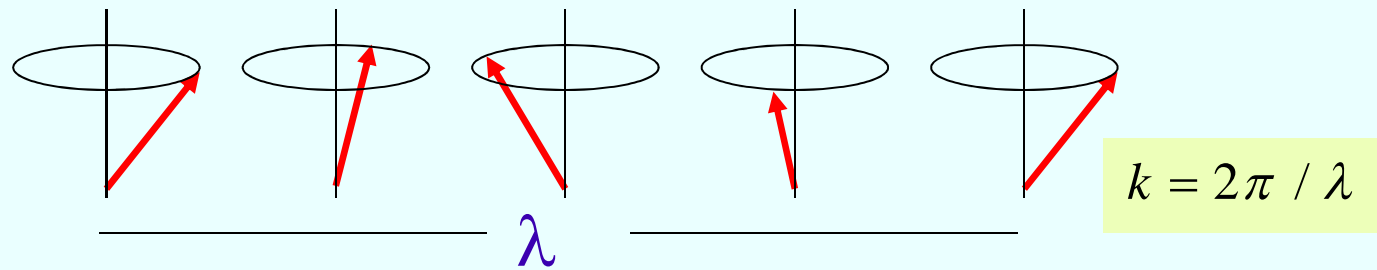
$$m^\pm = m_x \pm im_y$$



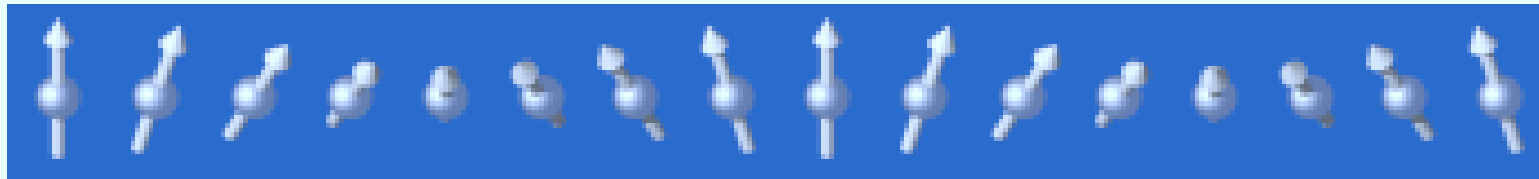
$$m^+(\vec{r}, t) = m_0 e^{i\vec{k} \cdot \vec{r} - i\omega_k t}$$



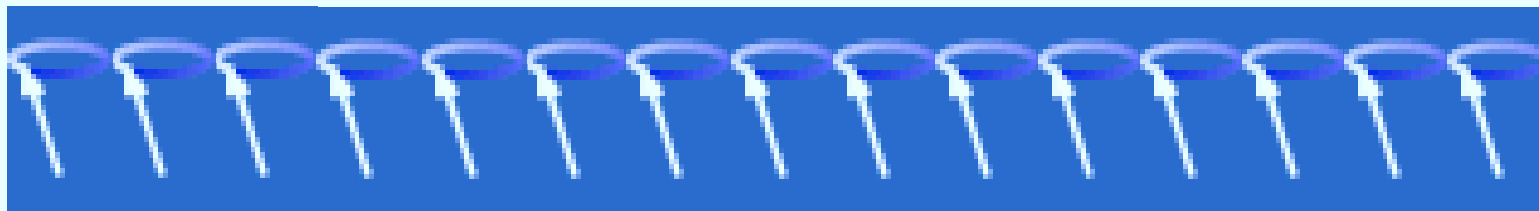
2- Ondas de spin: tratamento semi-clássico



Onda de spin propagante $m^+(\vec{r}, t) = m_0 e^{i\vec{k} \cdot \vec{r} - i\omega_k t}$

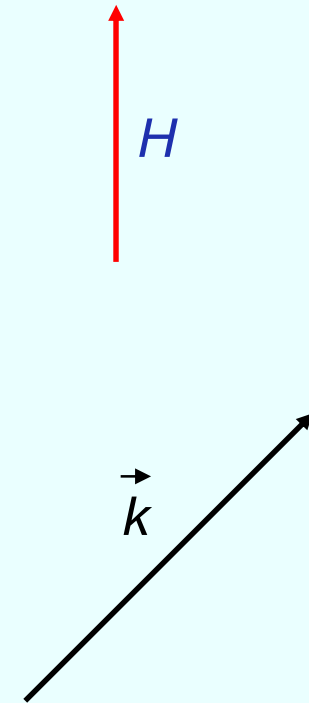
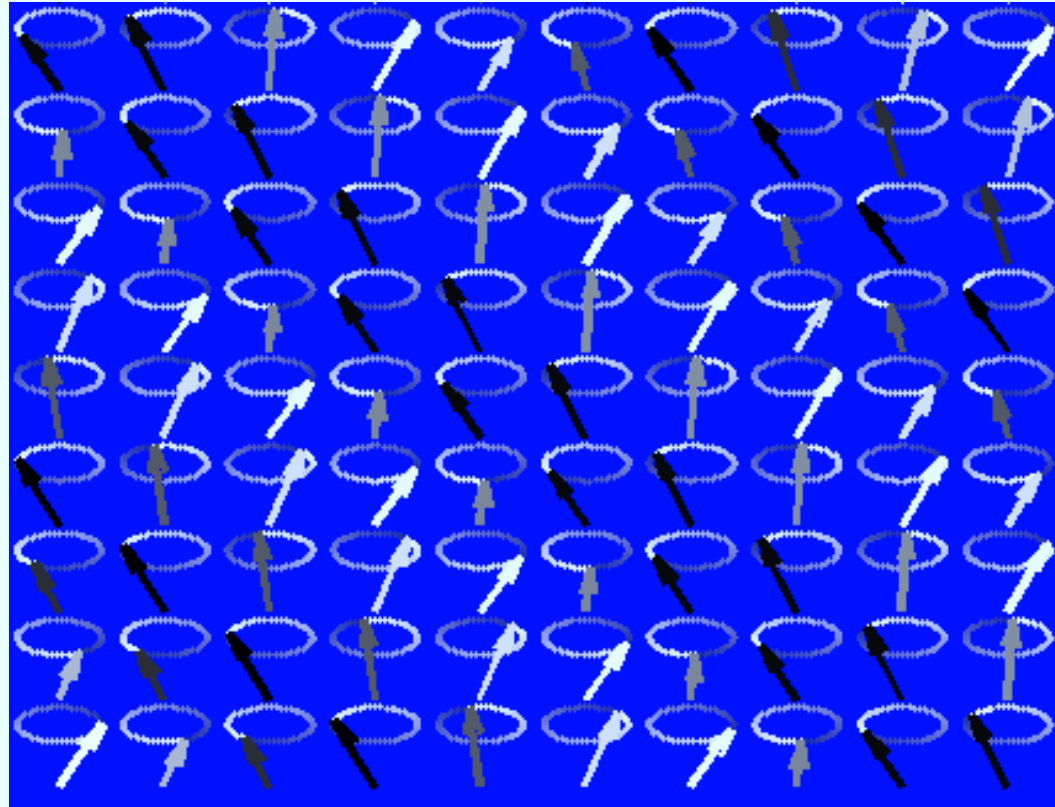


Onda de spin estacionária



2- Ondas de spin: tratamento semi-clássico

Onda de spin propagante $m^+(\vec{r}, t) = m_0 e^{i\vec{k}\cdot\vec{r} - i\omega_k t}$



Cortesia de C.E. Patton

2- Ondas de spin: tratamento quântico

$$H = H_Z + H_{exc} + H_{dip}$$

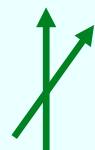
$$S_j^\pm = S_j^x \pm iS_j^y$$

Operador de criação
de desvio de spin

$$S_j^- \cong (2S)^{1/2} (a_j^+ - a_j^+ a_j^+ a_j / 4S)$$

$$S_j^+ \cong (2S)^{1/2} (a_j - a_j^+ a_j a_j / 4S)$$

$$S_j^z = S - a_j^+ a_j$$



$$S_j^- \cong (2S)^{1/2} a_j^+$$

$$S_j^+ \cong (2S)^{1/2} a_j$$

$$S_j^z \cong S$$

Hamiltoniano livre

$$H_0 = \sum_k \hbar \omega_k c_k^+ c_k$$

Operador coletivo

$$a_j = \frac{1}{N^{1/2}} \sum_k e^{i\vec{k} \cdot \vec{r}} a_k$$

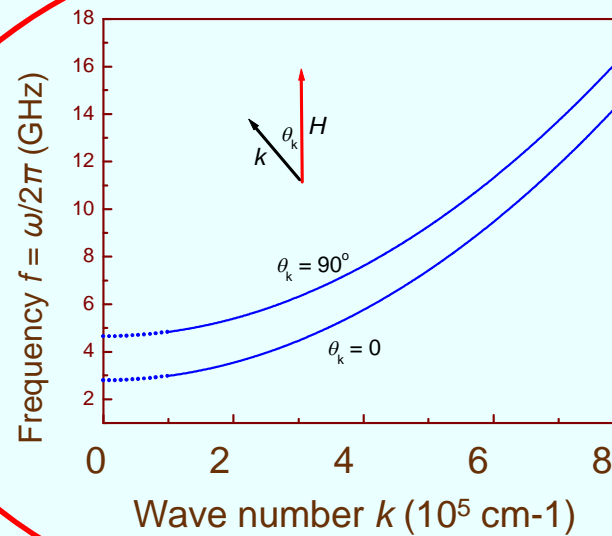
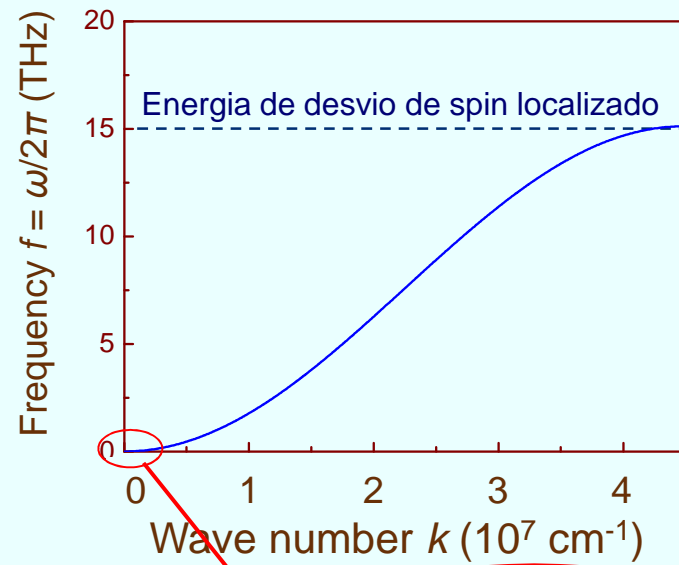
Transformação de
Bogoliubov

$$a_k = u_k c_k + v_k c_{-k}^+$$

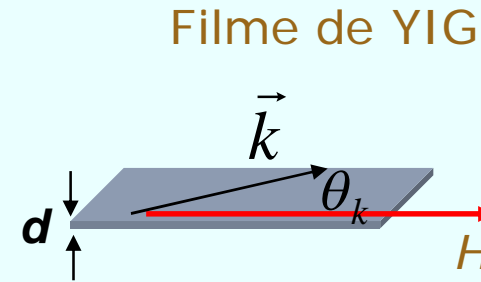
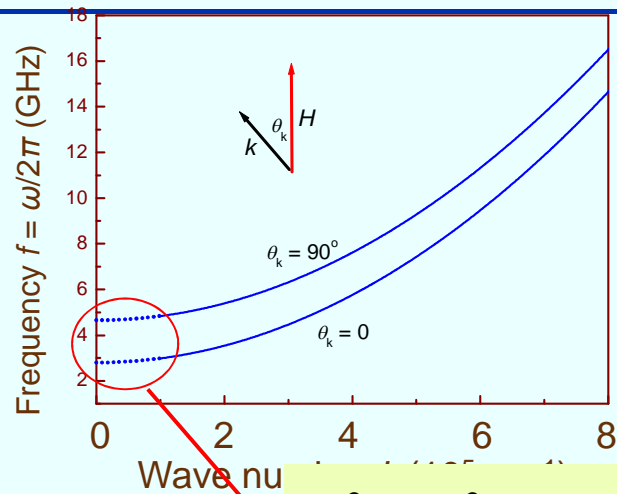
$$\hbar \omega_k = \text{energia}$$

$$c_k^+, c_k \text{ operadores}$$

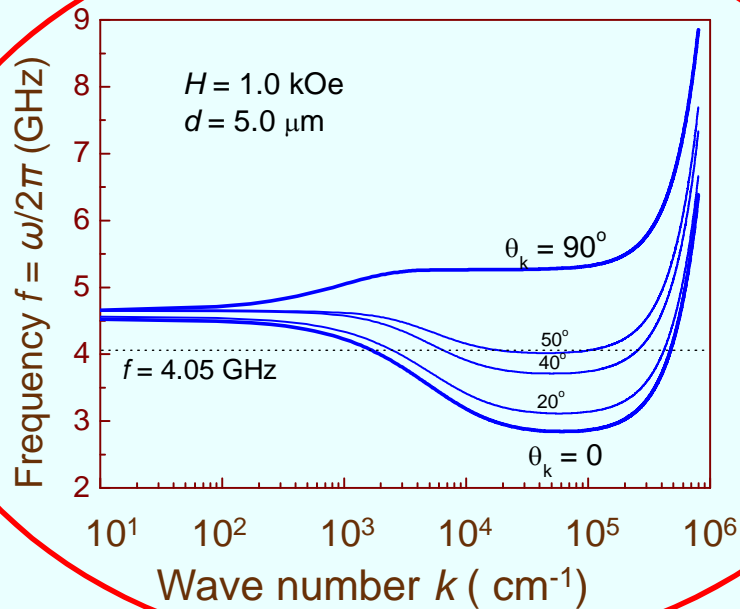
2- Frequência (energia de ondas de spin)



2- Frequência (energia de ondas de spin)



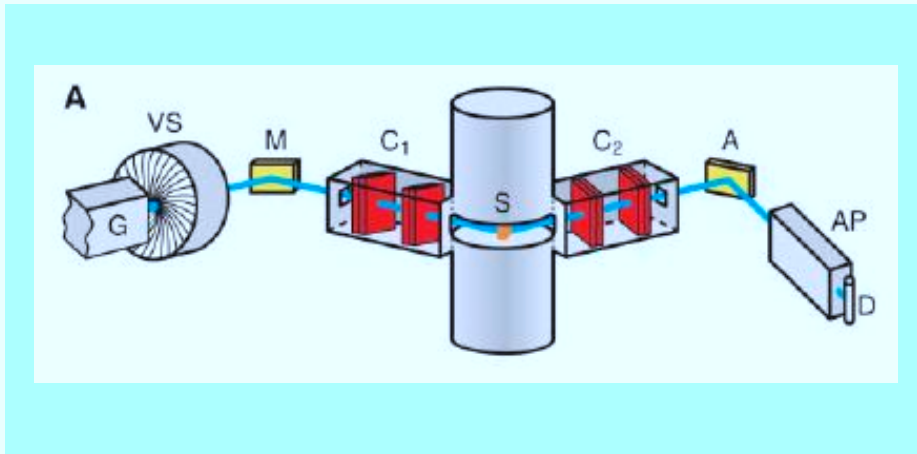
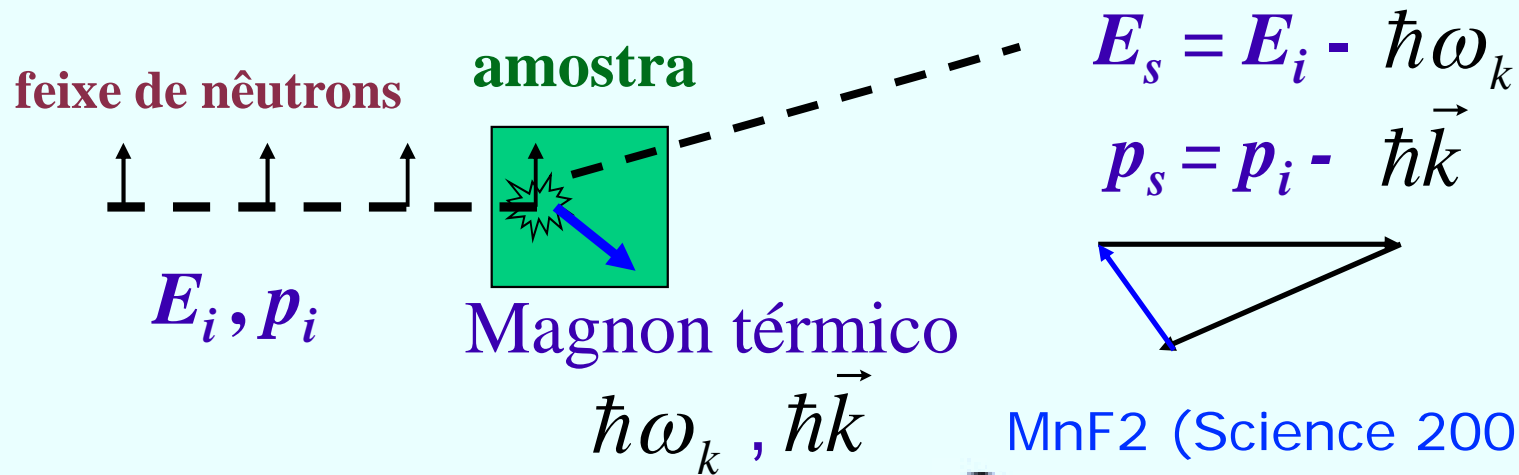
$$\omega_k^2 = \gamma^2 [H + Dk^2 + 4\pi M (1 - F_k) \sin^2 \theta_k][H + Dk^2 + 4\pi M F_k]$$



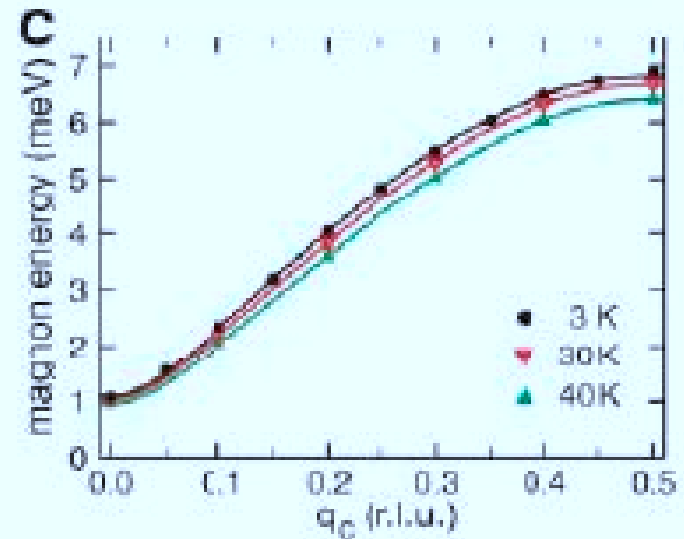
$$F_k = (1 - e^{-kd}) / kd$$

Observação de ondas de spin

Espalhamento inelástico de nêutrons

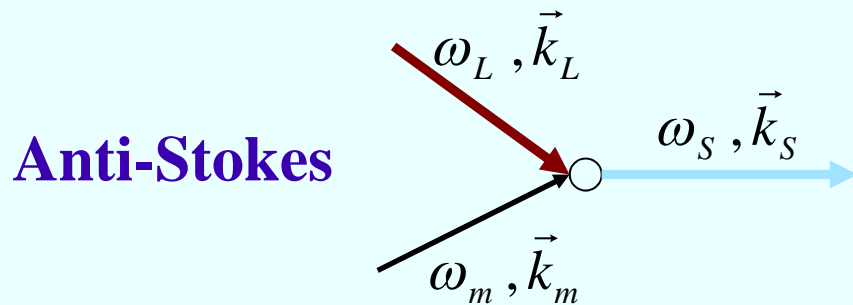
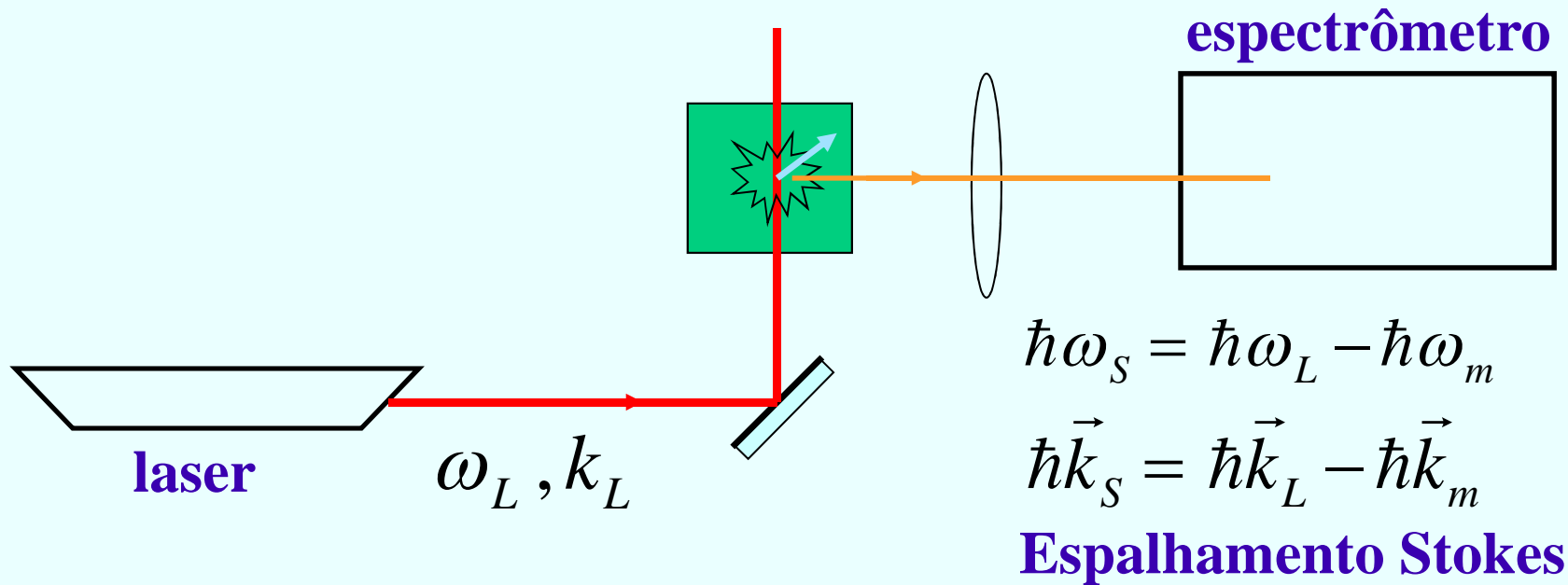


MnF2 (Science 2008)



Observação de ondas de spin

Espalhamento inelástico de luz



$$\hbar\omega_S = \hbar\omega_L + \hbar\omega_m$$

$$\hbar\vec{k}_S = \hbar\vec{k}_L + \hbar\vec{k}_m$$

Observação de ondas de spin

Espalhamento inelástico de luz

A primeira experiência de espalhamento (Raman) de luz foi feita por um brasileiro

LIGHT SCATTERING BY SPIN WAVES IN FeF_2

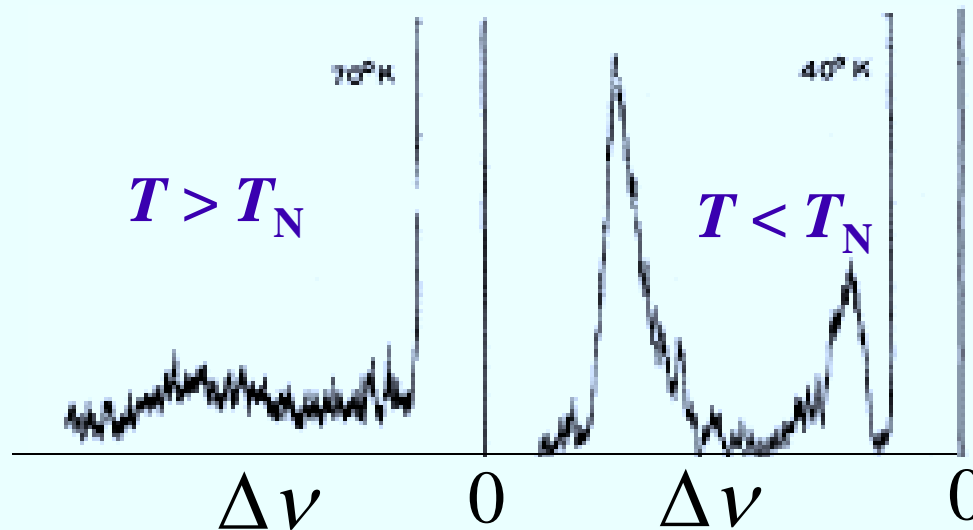
P. A. Fleury, S. P. S. Porto, L. E. Cheesman, and H. J. Guggenheim
Bell Telephone Laboratories, Murray Hill, New Jersey

(Received 27 May 1966)

VOLUME 17, NUMBER 2

PHYSICAL REVIEW LETTERS

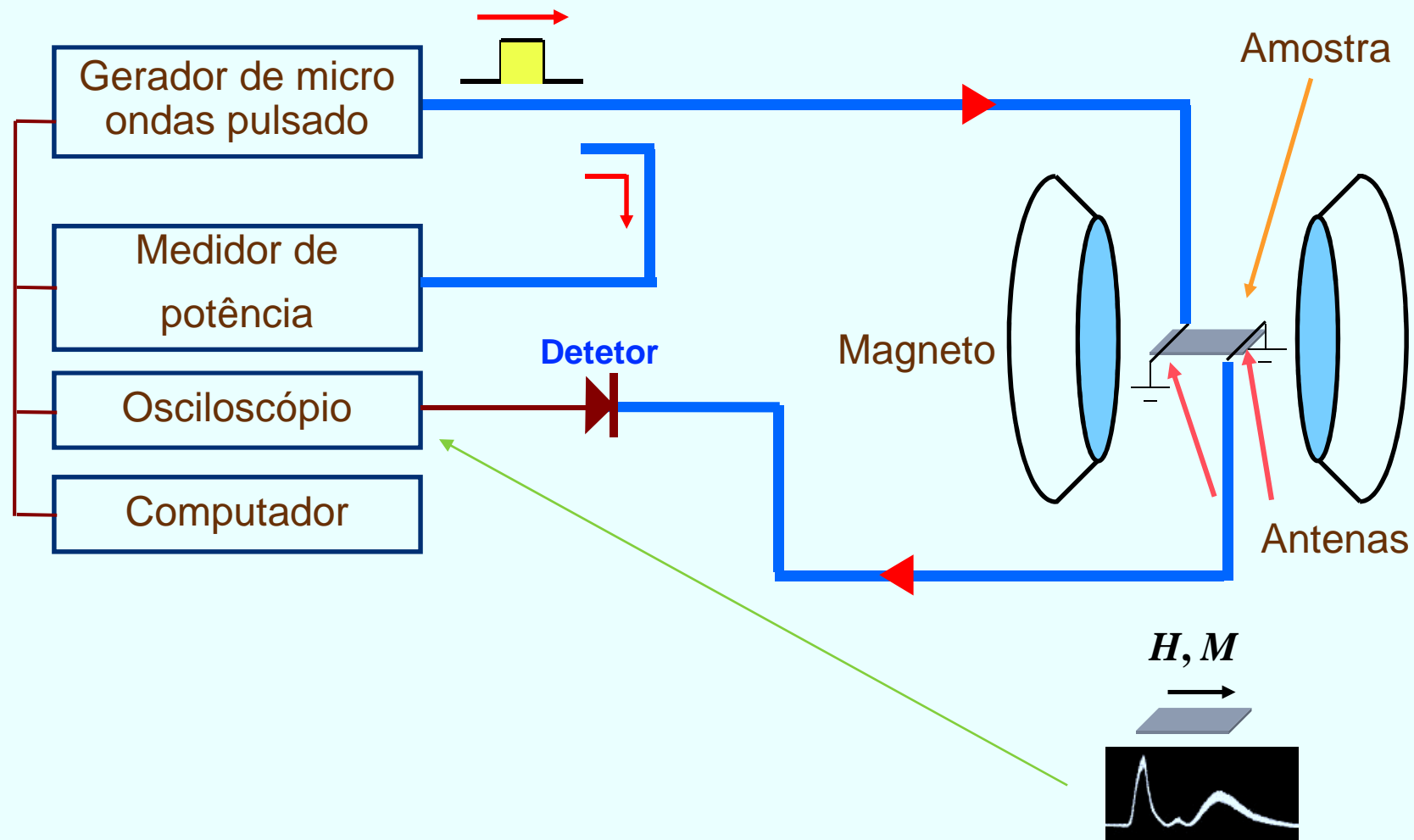
11 JULY 1966



Sergio Porto na Bell
em 1966

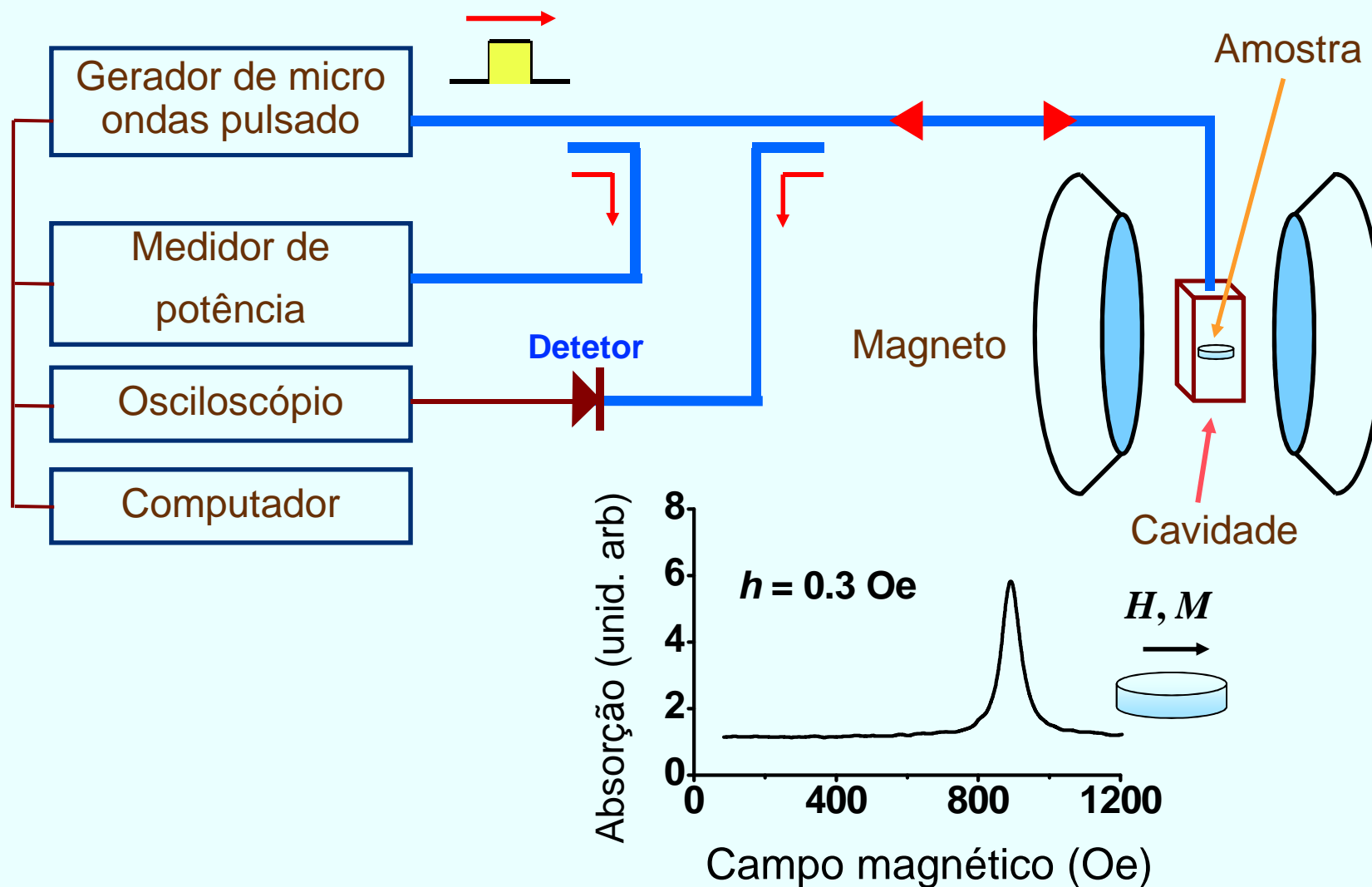
Observação de ondas de spin

Excitação linear de ondas de spin



Observação de ondas de spin

Experimento para excitação não-linear de magnons



3- Estados coherentes de magnons

Hamiltoniano
livre

$$H_0 = \sum_k \hbar \omega_k c_k^+ c_k$$

$$n_k = c_k^+ c_k$$

Operador número

1 magnon

$$|1_k\rangle = c_k^+ |0\rangle$$

2 magnons

$$|2_k\rangle = \frac{1}{\sqrt{2}} (c_k^+)^2 |0\rangle$$

n magnons

$$|n_k\rangle = [(c_k^+)^{n_k} / (n_k!)^{1/2}] |0\rangle$$

$$\langle n_k | n'_k \rangle = \delta_{n, n'}$$

Auto-estados de H e n_k

$$n_k |n_k\rangle = n_k$$



$$\langle n_k | n_k | n_k \rangle = n_k$$

3- Estados coerentes de magnons

$$|n_k\rangle = [(c_k^+)^{n_k} / (n_k!)^{1/2}] |0\rangle$$

São auto-estados do operador número e do Hamiltoniano livre

São usados em quase todos tratamentos quânticos de propriedades termodinâmicas, mecanismos de relaxação e outros fenômenos envolvendo magnons

Entretanto eles tem valor esperado NULO para os operadores m_x e m_y e portanto não tem função de onda macroscópica

$$m_x(\vec{r}) = \frac{M}{(2NS)^{1/2}} \sum_k e^{i\vec{k}\cdot\vec{r}} (u_k + v_k)(c_k + c_{-k}^*)$$

$$m_y(\vec{r}) = -i \frac{M}{(2NS)^{1/2}} \sum_k e^{i\vec{k}\cdot\vec{r}} (u_k - v_k)(c_k - c_{-k}^*)$$

$$m^+ = m_x + i m_y \propto c_k$$

$$\begin{aligned} \langle n_k | m_x | n_k \rangle &= \langle n_k | m_y | n_k \rangle = \\ &= \langle n_k | m^\pm | n_k \rangle = 0 \end{aligned}$$

3- Estados coerentes de magnons

Estados coerentes de magnons são definidos em analogia com os estados coerentes de ftons introduzidos por Glauber in 1963

[S.M. Rezende e N. Zagury, Phys. Lett. A 29, 47 (1969)]

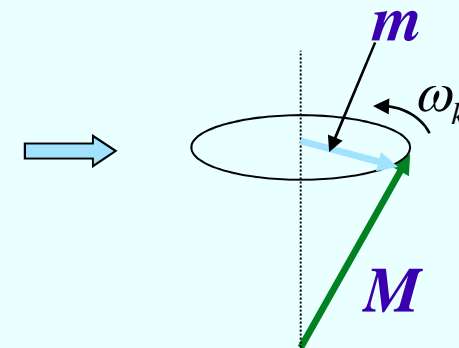
$$c_k |\alpha_k\rangle = \alpha_k |\alpha_k\rangle$$

$$|\alpha_k\rangle = e^{-|\alpha_k|^2/2} \sum_{n_k} (\alpha_k)^{n_k} / (n_k!)^{1/2} |n_k\rangle$$

$$\langle n_k \rangle = |\alpha_k|^2$$

$$\langle m_x(\vec{r}, t) \rangle = \frac{M}{(NS/2)^{1/2}} |\alpha_k| (u_k + v_k) \cos(\vec{k} \cdot \vec{r} - \omega_k t + \phi_k)$$

$$\langle m_y(\vec{r}, t) \rangle = \frac{M}{(NS/2)^{1/2}} |\alpha_k| (u_k - v_k) \sin(\vec{k} \cdot \vec{r} - \omega_k t + \phi_k)$$



3- Estados coherentes de magnons

Operador matriz densidade

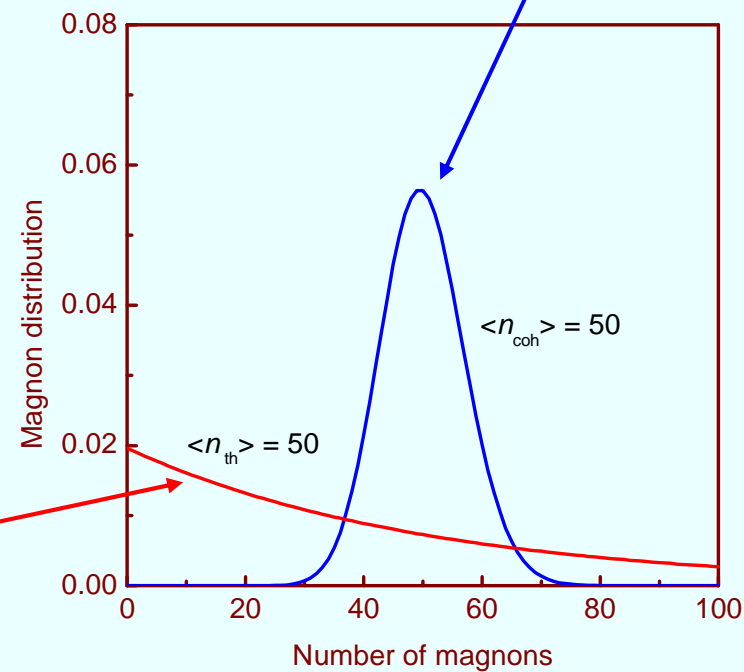
$$\rho = \int P(\alpha_k) |\alpha_k\rangle \langle \alpha_k| d^2 \alpha_k \quad \int P(\alpha_k) d^2 \alpha_k = 1$$

Estado coerente $\rho_{coh}(n_k) = \left| \langle n_k | \alpha_k \rangle \right|^2 = \frac{|\alpha_k|^{2n_k}}{n_k!} e^{-|\alpha_k|^2}$

Magnons térmicos

$$\bar{n}_k = \frac{1}{e^{\hbar\omega_k/k_B T} - 1}$$

$$\rho_{th}(n_k) = \frac{(\bar{n}_k)^{n_k}}{(1 + \bar{n}_k)^{n_k + 1}}$$



4- Evidências experimentais de BEC de magnons em T ambiente

- 1- S.O. Demokritov *et al.* , Nature 443, 430 (2006).
- 2- V.E. Demidov, S.O. Demokritov, *et al.*, Phys. Rev. Lett. 99, 037205 (2007).
- 3- V.E. Demidov, S.O. Demokritov, *et al.*, Phys. Rev. Lett. 100, 047205 (2008)
- 4- V.E. Demidov, S.O. Demokritov, *et al.*, Phys. Rev. Lett. 101, 257201 (2008)
- 5- O. Dzyapko, S.O. Demokritov, *et al.* Appl. Phys. Lett. 92, 162510 (2008).

PRL 100, 047205 (2008)

PHYSICAL REVIEW LETTERS

week ending
1 FEBRUARY 2008

Observation of Spontaneous Coherence in Bose-Einstein Condensate of Magnons

V. E. Demidov,^{1,*} O. Dzyapko,¹ S. O. Demokritov,¹ G. A. Melkov,² and A. N. Slavin³

¹*Institute for Applied Physics and Center for Nonlinear Science, University of Muenster,
Corrensstrasse 2-4, 48149 Muenster, Germany*

²*Department of Radiophysics, National Taras Shevchenko University of Kiev, Kiev, Ukraine*

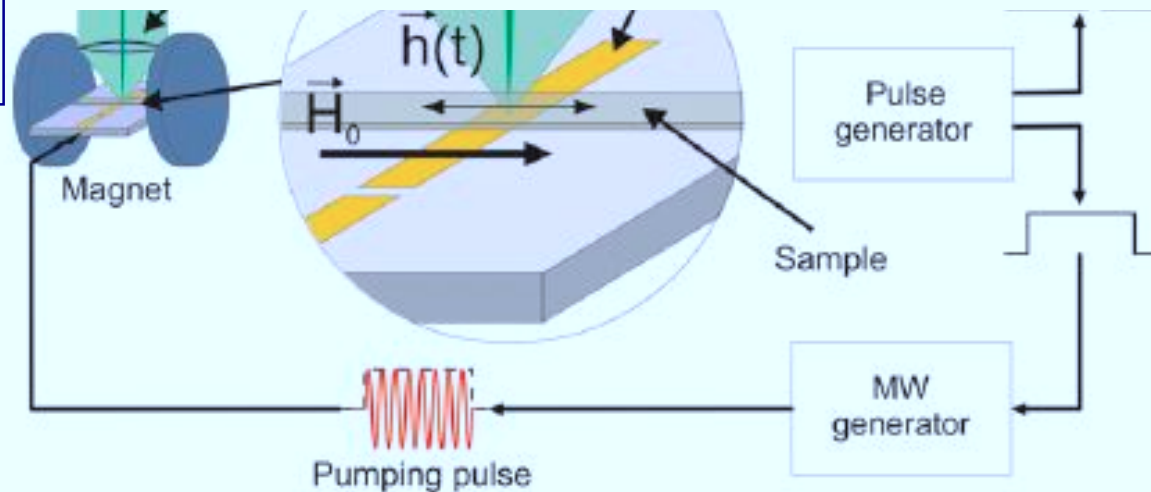
³*Department of Physics, Oakland University, Rochester, Michigan, USA*

4- Experimentos de Demokritov *et al.*

Configuração esquemática

Magnons detetados por espalhamento Brillouin de luz (BLS)

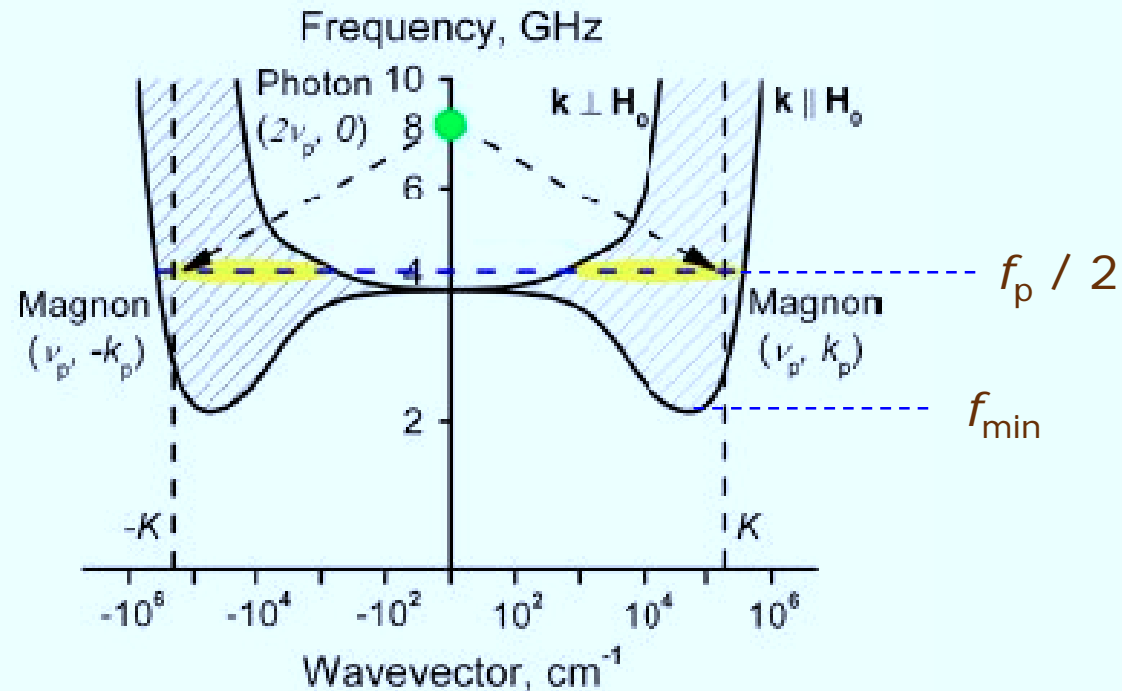
Ondas de spin (magnons) excitadas em filme de YIG por micro-ondas



4- Experimentos de Demokritov *et al.*

Campo de micro-ondas com frequência $f_p = 8.1$ GHz aplicado paralelo ao campo estático H

$H = 0.7$ kOe

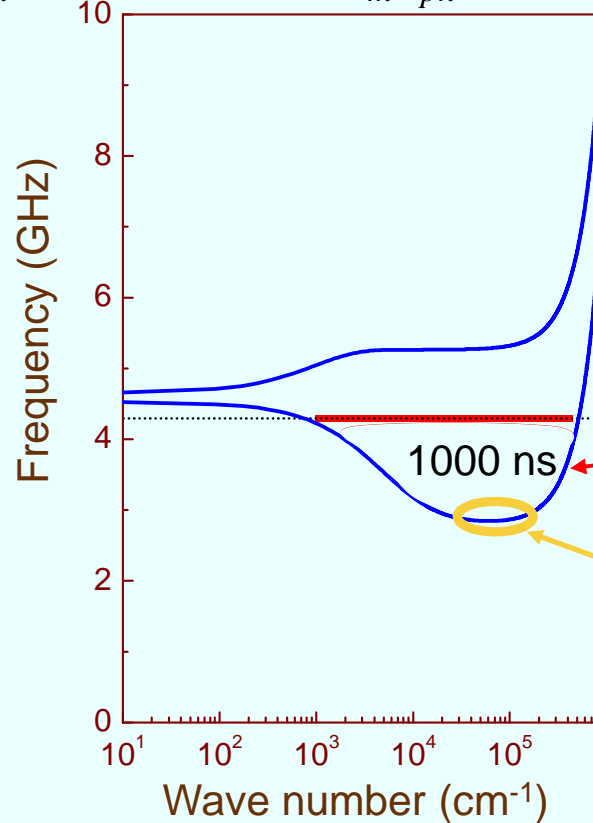


Magnons com frequência $f_p/2 = 4.05$ GHz excitados pelo processo de "parallel pumping"

4- Experimentos de Demokritov *et al.*

Estados de magnons com frequência na faixa $f_{\min} - f_p / 2$ são populados por espalhamento de magnons até cerca de 50 ns depois do início do pulso de excitação

$$\tau_{m-m} \sim 10 \text{ ns} \quad \tau_{m-ph} \sim 250 \text{ ns}$$



$$H = 1.0 \text{ kOe}$$

O gas de magnons quentes fica em quasi-equilíbrio desacoplado da rede por centenas de ns

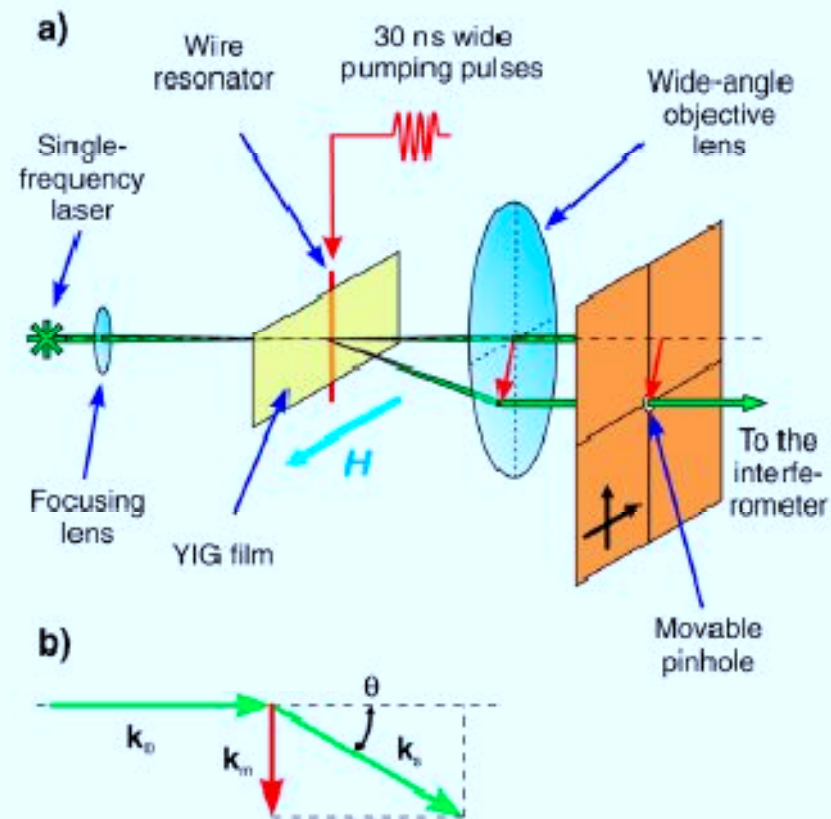
condensado

Número de estados de magnons no reservatório $N_R \sim 10^9$

4- Experimentos de Demokritov *et al.*

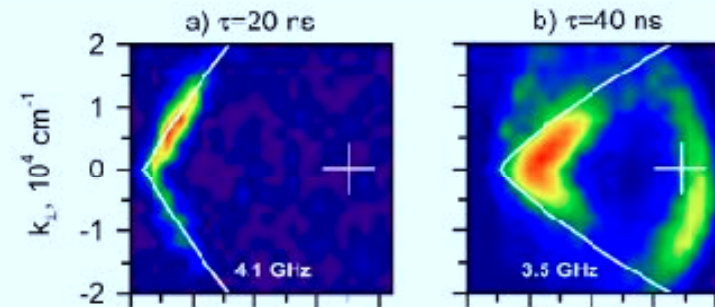
Experimento com pulsos curtos e resolução em vetor de onda

V.E. Demidov *et al.*, Phys. Rev. Lett. **101**, 257201 (2008)



4- Experimentos de Demokritov *et al.*

Experimento com pulsos curtos e resolução em vetor de onda



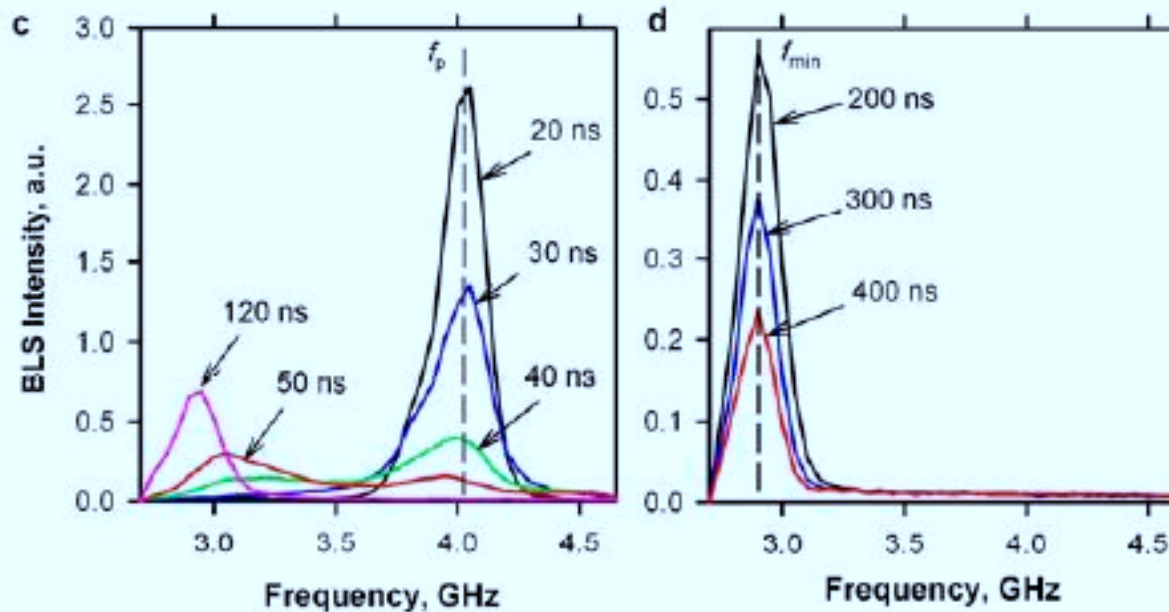
Conclusão: Para $p > p_{\text{crit}}$ os magnons no reservatório condensam em f_{min} e se tornam coerentes

4- Experimentos de Demokritov *et al.*

Experimentos com pulsos curtos (30 ns)

V.E. Demidov *et al.*, Phys. Rev. Lett. **100**, 047205 (2008)

$$H = 1.0 \text{ kOe} \quad p = 3 \text{ W}$$

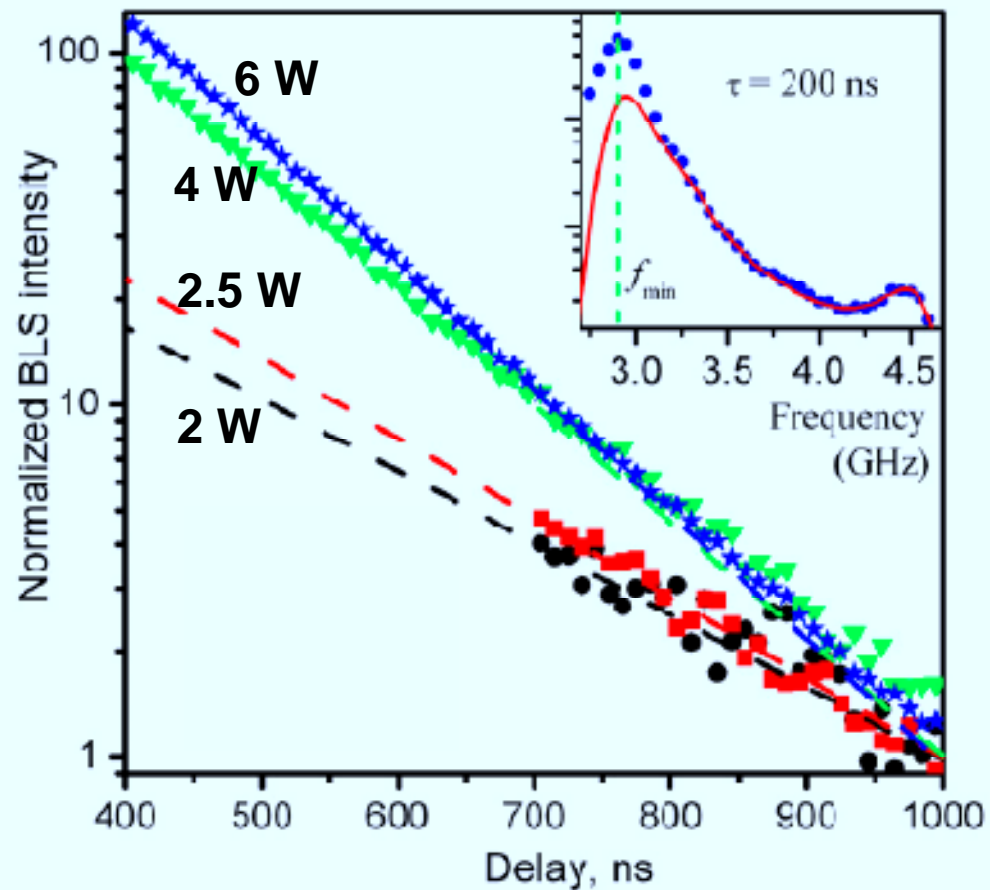


4- Experimentos de Demokritov *et al.*

Experimentos com pulsos curtos (30 ns)

$H = 1.0$ kOe

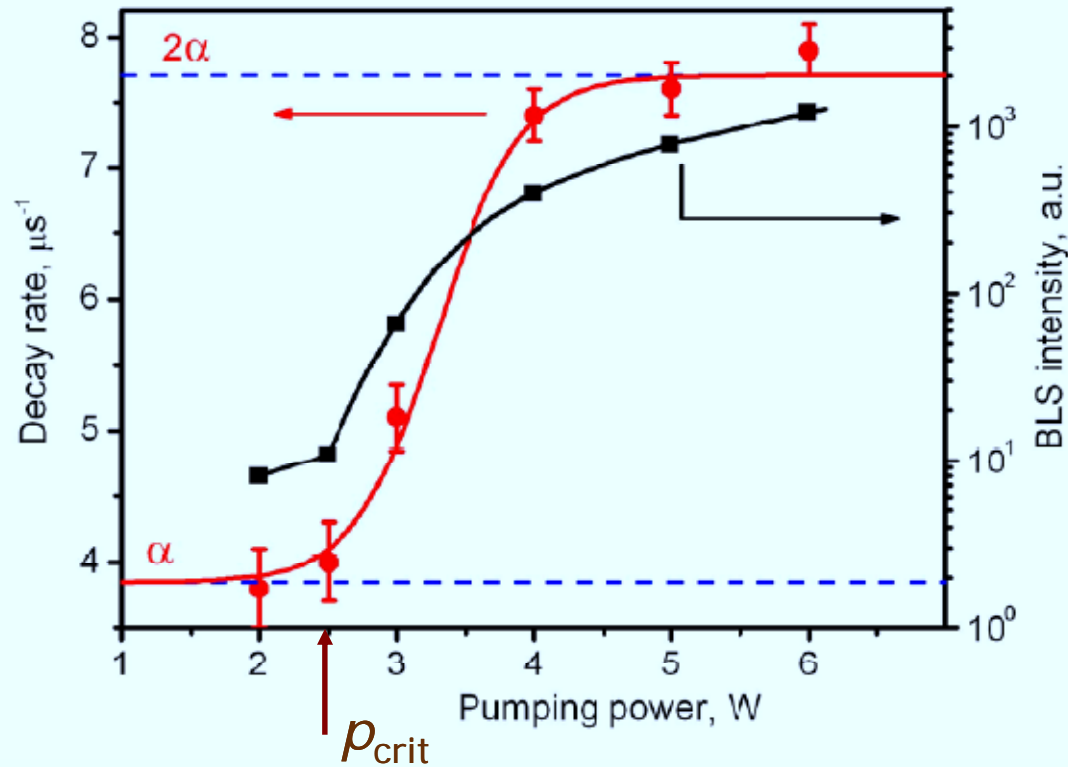
Medida do decaimento para a rede do pico BLS em f_{\min}



4- Experimentos de Demokritov *et al.*

Experimentos com pulsos curtos (30 ns)

$H = 1.0$ kOe



$$I_{BLS} \propto \langle (\sum E_i)^2 \rangle$$

$\rho < \rho_{\text{crit}}$ Espalhadores incoerentes

$$\langle E_i E_j \rangle = 0, i \neq j$$

$$I_{BLS} \propto n$$

$\rho > \rho_{\text{crit}}$ Espalhadores coerentes

$$\langle E_i E_j \rangle = \langle E_i^2 \rangle$$

$$I_{BLS} \propto n^2$$

5- Teoria de BEC em sistema de magnons interagentes

Excitação de magnons por bombeamento paralelo

$$H = H_0 + H_{\text{int}} + H'(t)$$

$$H \uparrow \quad \updownarrow \hat{z} h \cos(\omega_p t)$$

$$H'(t) = \frac{\hbar}{2} \sum_k h \rho_k e^{-i\omega_p t} c_k^+ c_{-k}^+ + h.c.$$

$$\rho_k = \gamma \omega_M [(1 - F_k) \sin^2 \theta_k - F_k] / 4\omega_k$$

$$\omega_M = \gamma 4\pi M$$

$$\gamma = g\mu_B / \hbar \quad 2.8 \text{ GHz / kOe for YIG}$$

$$F_k = (1 - e^{-kd}) / kd$$

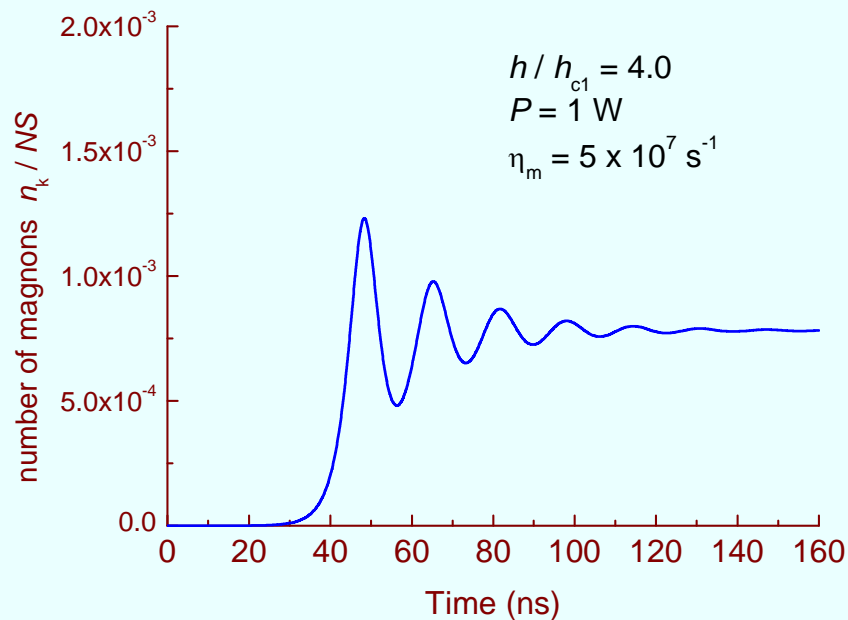
$$H_{\text{int}} = H^{(4)} = \hbar \sum_{k,k'} \left(\frac{1}{2} S_{kk'} c_k^+ c_{-k}^+ c_k c_{-k'} + T_{kk'} c_k^+ c_k^+ c_k c_{k'} \right)$$

$$V_{(4)} = S_{kk} + 2T_{kk} = 4\omega_M / NS$$

5- Teoria de BEC em sistema de magnons interagentes

Excitação de magnons por bombeamento paralelo

$$\frac{dc_k}{dt} = -(i\omega_k + \eta_m + i2V_{(4)} n_k) c_k - i(h\rho_k) e^{-i\omega_p t} c_{-k}^+$$



$$\langle n_k \rangle_{ss} = \frac{[(h\rho_k)^2 - \eta_k^2]^{1/2} - |\Delta\omega_k|}{2V_{(4)}}$$

5- Teoria de BEC em sistema de magnons interagentes

Excitação de magnons por bombeamento paralelo

$$\langle n_k \rangle_{ss} \cong \frac{[(p - p_{c1}) / p_{c1}]^{1/2}}{2V_{(4)} / \eta_m}$$

p = potência de bombeio
 p_{c1} = pot. crítica para b.p.

Fator r_p para o número de modos bombeados

Número total de magnons no gas

$$N_p = r_p n_H [(p - p_{c1}) / p_{c1}]^{1/2}$$



$$n_H \equiv \eta_m / 2V_{(4)} = \eta_m NS / 8 \omega_M$$

5- Teoria de BEC em sistema de magnons interagentes

Termodinâmica

$$n_{BE}(\omega, \mu, T) = \frac{1}{e^{(\hbar\omega - \mu)/k_B T} - 1} \quad N_{tot} = \int D(\omega) n_{BE}(\omega, \mu, T) d\omega$$

$$N_p = \int D(\omega) n_{BE}(\omega, \mu, T) d\omega$$

$$N_p = r_p n_H [(p - p_{cl}) / p_{cl}]^{1/2}$$

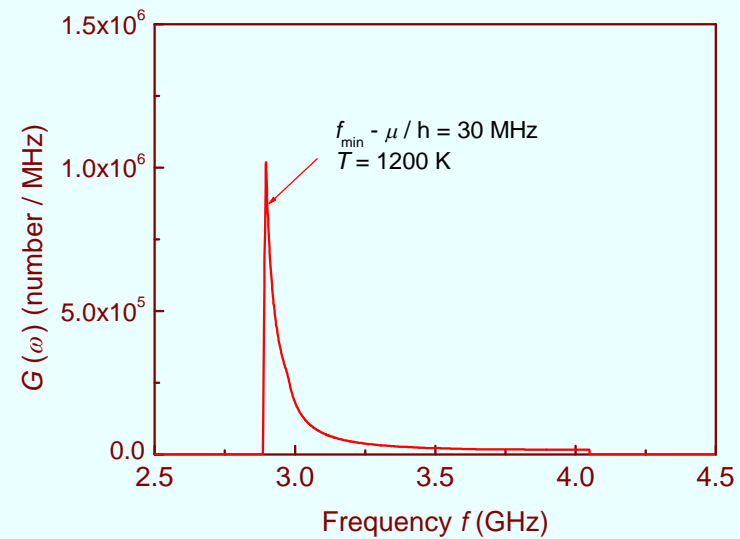
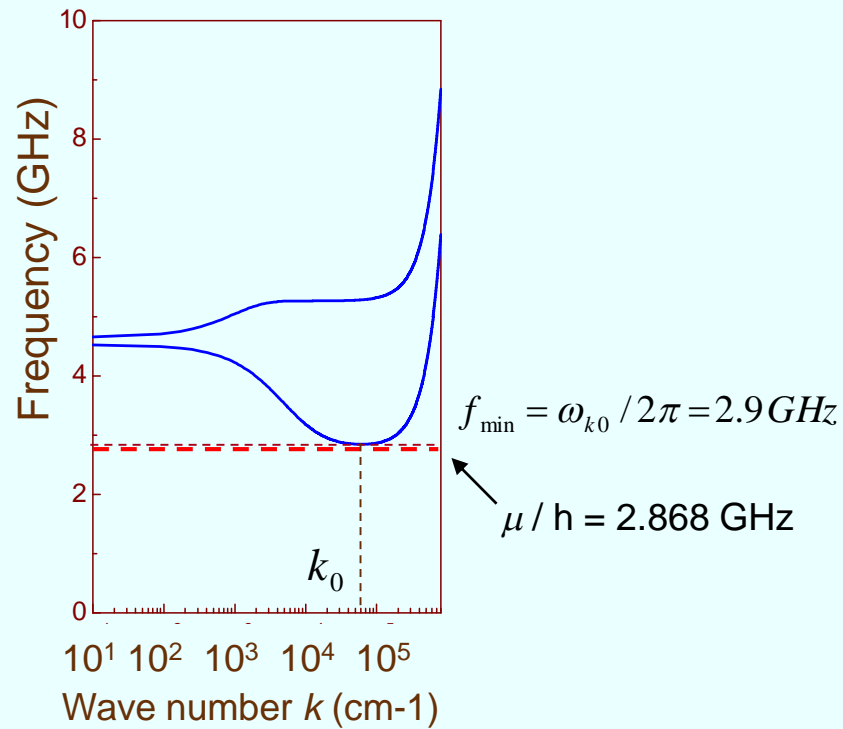
Distribuição de BE normalizada

$$f_{BE}(\omega) = n_{BE}(\omega) / C_{BE} \quad C_{BE} = \frac{1}{\Delta\omega_R} \int n_{BE} d\omega$$

$$\text{Densidade espectral} \quad G(\omega) = D(\omega) f_{BE}(\omega)$$

5- Teoria de BEC em sistema de magnons interagentes

$$\text{Densidade espectral} \quad G(\omega) = D(\omega) f_{BE}(\omega)$$



5- Teoria de BEC em sistema de magnons interagentes

Dinâmica da formação do BEC

$$H^{(4)} = \hbar \sum_{k, k'} \left(\frac{1}{2} S_{kk'} c_k^+ c_{-k}^+ c_k c_{-k} + T_{kk'} c_k^+ c_{k'}^+ c_k c_{k'} \right)$$

$$H'(t) = \hbar \sum_{k_R} \frac{1}{2} S_{kk_R} n_{k_R} e^{i\varphi_{k_R}} e^{-i2\omega_{k_R} t} c_k^+ c_{-k}^+ + h.c.$$

$$n_{k_R} = f_{BE}(\omega_{k_R}) n_R$$

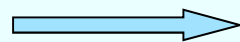
$$n_R = \frac{N_p}{N_R}$$

N_R = número de estados no reservatório

n_R = número médio de magnons

$$H'_{eff}(t) \cong \hbar (h\rho)_{eff} e^{-i2\omega_{k_0} t} c_{k_0}^+ c_{-k_0}^+ + h.c.$$

$$(h\rho)_{eff} = -i G(\omega_{k_0}) \eta_m V_{(4)} n_R / 2$$



Pares de magnons com k_0 , $-k_0$ são gerados pela ação coletiva

$$n_{k_0} = \frac{[|(h\rho)_{eff}|^2 - \eta_m^2]^{1/2}}{2V_{(4)}}$$

5- Teoria de BEC em sistema de magnons interagentes

Magnons com $\omega_{k_0} = 2\pi f_{\min}$ "gerados" coletivamente quando a densidade excede valor crítico

$$n_{k_0} = \frac{n_H}{n_c} (n_R^2 - n_c^2)^{1/2} \quad n_c = 2/V_{(4)} G(\omega_{k_0})$$

Ou, magnons com $\omega_{k_0} = 2\pi f_{\min}$ "gerados" coletivamente quando a potência de micro-ondas excede valor crítico

$$n_{k_0} = n_H [(p - p_{c2}) / (p_{c2} - p_{c1})]^{1/2} \quad p_{c2} = p_{c1} \{1 + 16/[r\eta_m G(\omega_{k_0})]^2\}$$

5- Teoria de BEC em sistema de magnons interagentes

Magnons com $\omega_{k0} = 2\pi f_{\min}$ "gerados" coletivamente estão em estados coerentes

Prova semelhante a do processo de *parallel pumping*
Cid B. de Araujo, Phys. Rev. B 10, 3961 (1974)

Equações de movimento dos operadores de magnon c_k, c_k^+ com o Hamiltoniano

$$H = H_0 + H^{(4)} + H'_{eff}(t) + H_R + H_{RS}$$

Usa representação de estados coerentes para obter equação de Langevin não linear

Obtém equação para a densidade de probabilidade $P(\alpha_k)$ estocasticamente equivalente a eq. Langevin

5- Teoria de BEC em sistema de magnons interagentes

Magnons com $\omega_{k0} = 2\pi f_{\min}$ "gerados" coletivamente estão em estados coerentes

Eq. de Fokker-Plank

$$\alpha_k = a_k \exp(i\phi_k)$$

$$\frac{\partial P}{\partial t'} + \frac{1}{x} \left(\frac{\partial}{\partial x} \right) [(A - x^4) x^2 P] = \frac{1}{x} \frac{\partial}{\partial x} \left(x \frac{\partial P}{\partial x} \right) + \frac{1}{x^2} \left(\frac{\partial^2 P}{\partial \phi_k^2} \right)$$

$$t' = \left(\bar{n}_{k0}^2 \eta_m^3 / n_H^2 \right)^{1/3} t$$

$$x = \left(2 / n_H^2 \bar{n}_{k0} \right)^{1/6} a_k$$

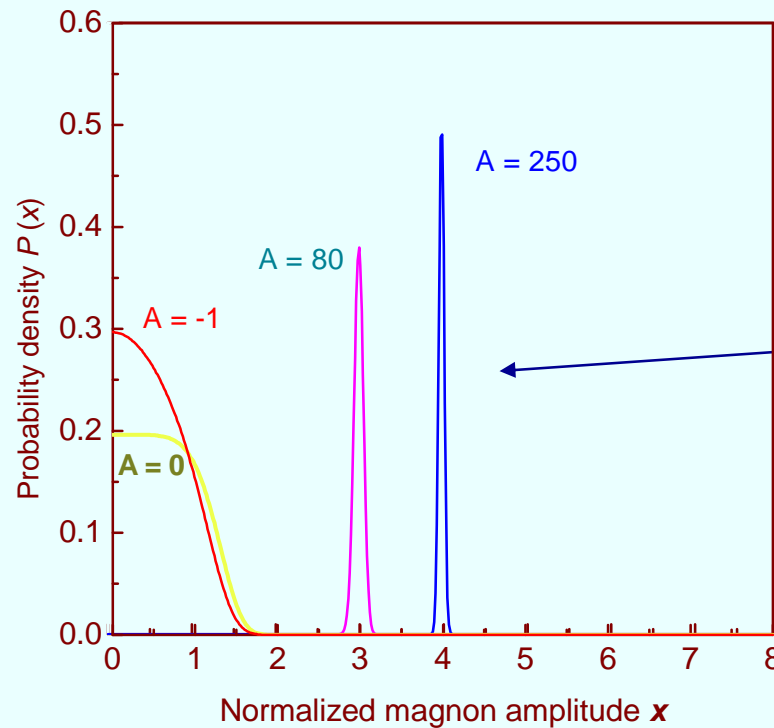
$$A = \left[\frac{2}{r f_{BE}(\omega_{k0})} \right]^{2/3} \left[\frac{p_{c1}}{p - p_{c1}} \right]^{1/3} \frac{(p - p_{c2})}{(p_{c2} - p_{c1})}$$

5- Teoria de BEC em sistema de magnons interagentes

Solução estacionária

$$P(x) = C \exp\left(\frac{1}{2} A x^2 - \frac{1}{6} x^6\right)$$

$$A \propto (p - p_{c2})$$



Característicos de Estado coerente !!!

Máximo em

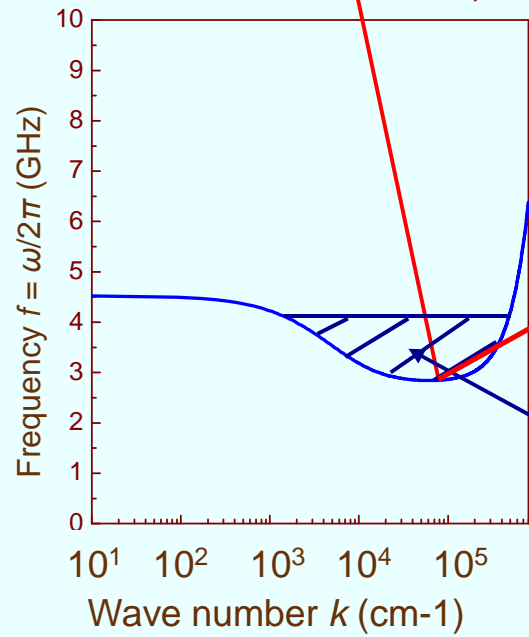
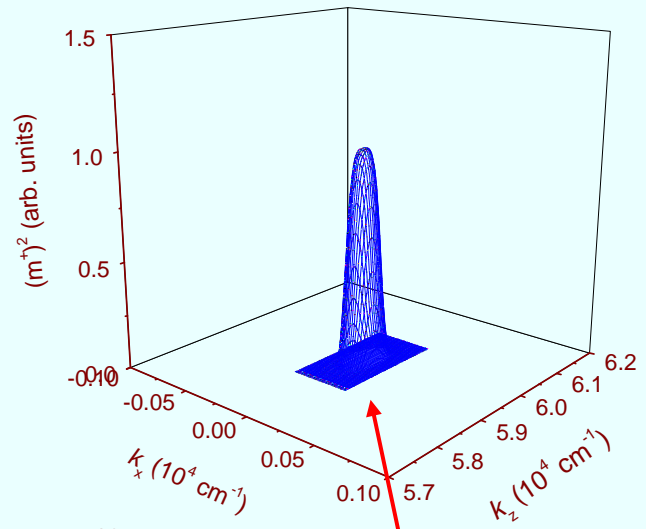
$$x_0 = A^{1/4}$$



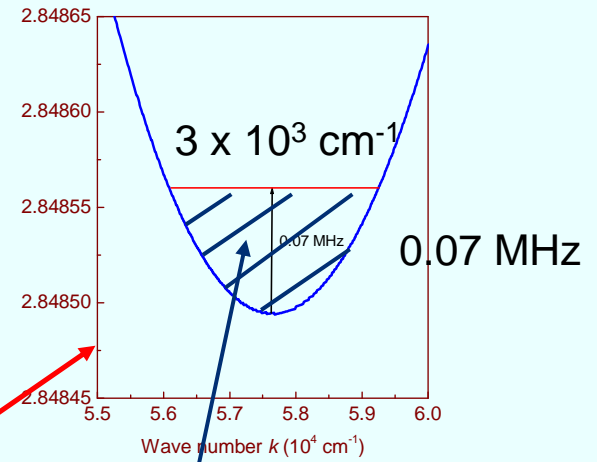
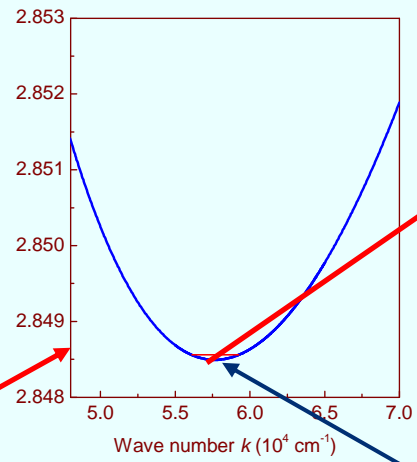
$$n_{k_0} = n_H \left[\frac{(p - p_{c2})}{(p_{c2} - p_{c1})} \right]^{1/2}$$

Mesmo número de magnons obtido das eqs movimento

Função de onda do condensado



$N_R \sim 10^9$
estados



$\rho_{k0} = 4.4 \times 10^3$
estados

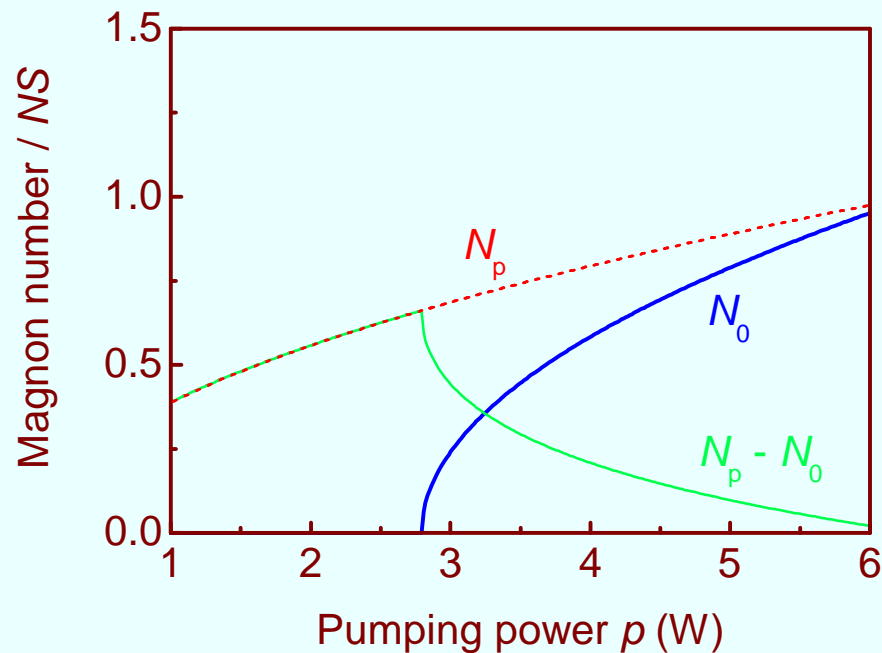
5- Teoria de BEC em sistema de magnons interagentes

Para $p > p_{c2}$ os magnons k_0 estão em estados coerentes!

Considera p_{k0} estados em torno de k_0 são populados

$$N_0 = p_{k0} n_{k0}$$

Número de magnons
no condensado



$$p_{k0} = 4.4 \times 10^3$$
$$r_p = 5 \times 10^2$$

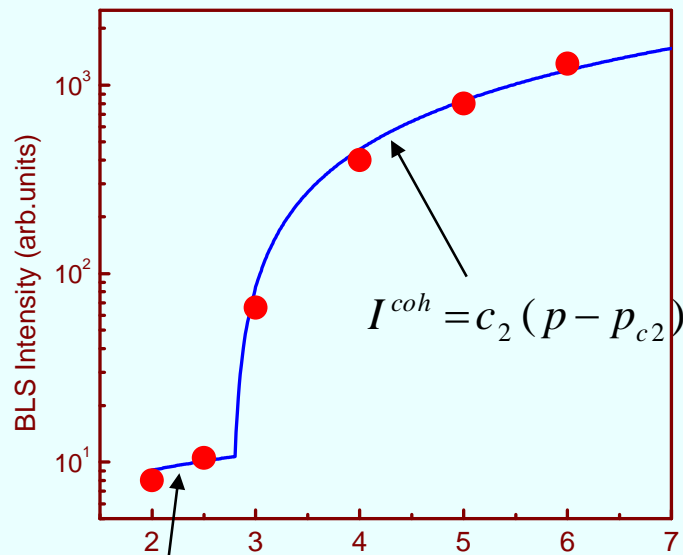
$$N_R \sim 10^9$$

6- Comparação da teoria com os experimentos

Espalhamento de Brillouin de luz: Intensidade

$$p < p_{c2} \quad I^{inc} = b \left(\frac{p_{th} \bar{n}_{k0}}{N} \right) = b r f_{BE}(\omega_{k0}) \left(\frac{p_{th} n_H}{N} \right) \left(\frac{p - p_{c1}}{p_{c1}} \right)^{1/2}$$

$$p \geq p_{c2} \quad I^{coh} = b \left(\frac{N_0}{N} \right)^2 = b \left(\frac{p_{k0} n_H}{N} \right)^2 \left(\frac{p - p_{c2}}{p_{c2} - p_{c1}} \right)$$



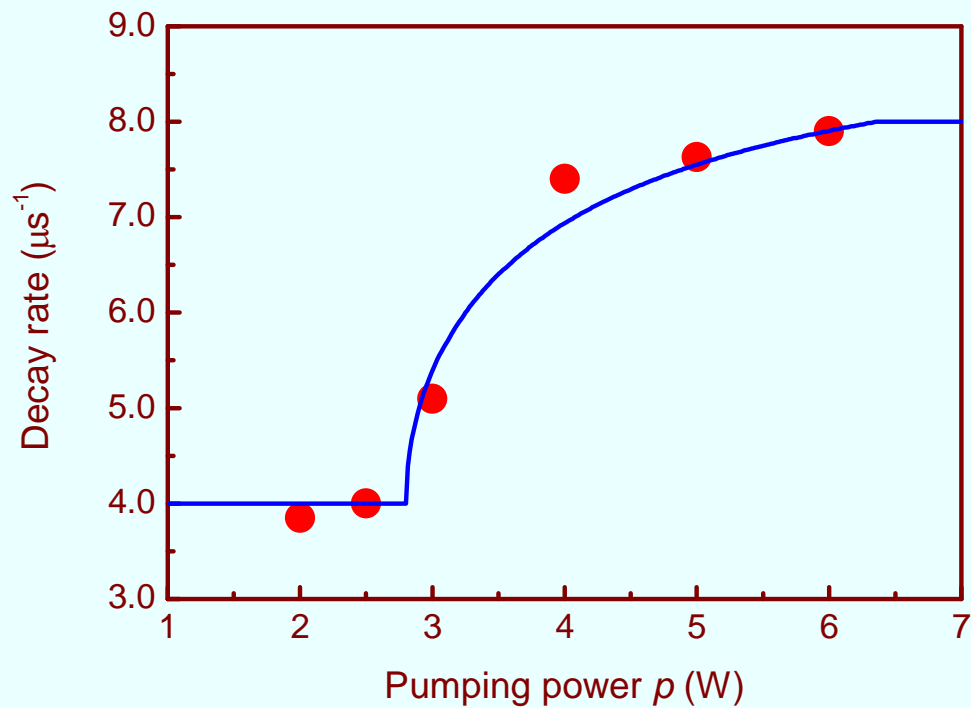
$$I^{inc} = c_1 (p - p_{c1})^{1/2}$$

$$\Rightarrow r f_{BE}(\omega_{k0}) = \frac{c_1}{c_2} \frac{p_{k0}^2}{p_{th}} \frac{\eta_m}{8 \omega_M} \frac{p_{c1}^{1/2}}{p_{c2}}$$

6- Comparação da teoria com os experimentos

Espalhamento de Brillouin de luz: Decaimento do pico em f_{\min}

$$\eta_{BLS} = \left(\frac{N_p - N_0}{N_p} \right) 2\eta_{SL} + \frac{N_0}{N_p} 4\eta_{SL}$$



Conclusões

Modelo teórico para a dinâmica de magnons interagentes em filme de YIG excitado por micro-ondas confirma a formação de BEC de magnons nos experimentos de Demokritov *et al.*

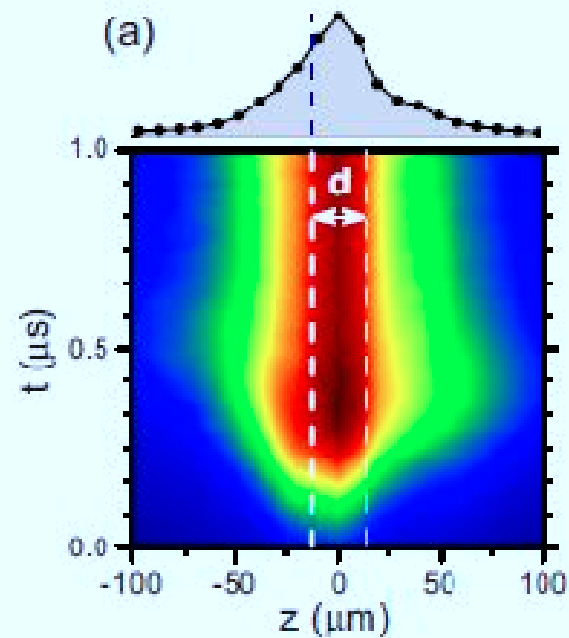
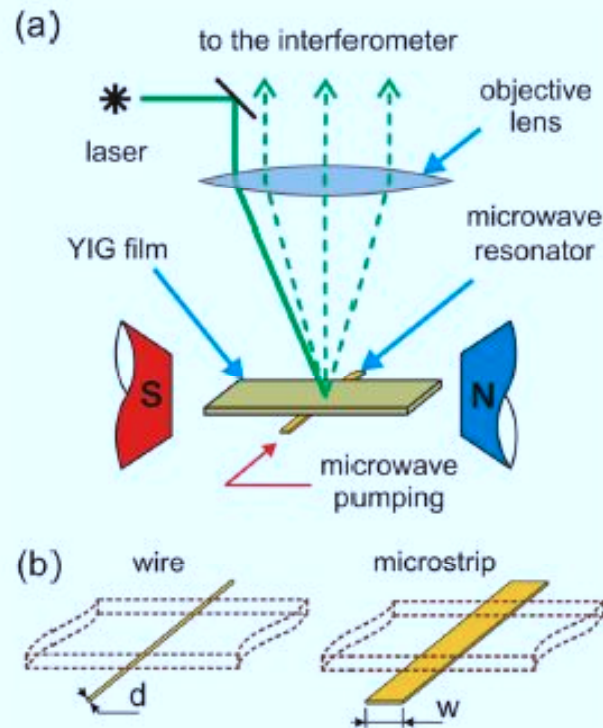
- ❑ Uma transição de fase caracteriza o estabelecimento de coerência com um parâmetro de ordem $m^+ \propto (p - p_{c2})^{1/4}$
- ❑ O número de magnons no condensado se aproxima do número total de magnons no sistema
- ❑ Resultados teóricos explicam os dados experimentais obtidos com espalhamento Brillouin de luz e com emissão de micro-ondas com valores consistentes para todos parâmetros do material e de ajuste. [S.M.R., Phys. Rev. B **79**, 174411 (2009)]

MUITO OBRIGADO

5- Função de onda do BEC de magnons

BLS com resolução espacial

V.E. Demidov *et al.*, Phys. Rev. B **80**, 060401(R) (2009).



5- Função de onda do BEC de magnons


Equação para a função de onda do BEC

$$H = H_0 + H^{(4)} + H'_{eff}(t)$$

$$H_0 = \hbar \sum_k \omega_k c_k^+ c_k$$

$$H^{(4)} = \hbar \sum_{1234} \frac{1}{2} T_{1234} c_1^+ c_2^+ c_3 c_4 \Delta(\vec{k}_1 + \vec{k}_2 - \vec{k}_3 - \vec{k}_4) + H.c.$$

$$H'_{eff}(t) \cong \hbar (h\rho)_{eff} e^{-i2\omega_{k_0} t} c_k^+ c_{-k}^+ + H.c.$$


$$(h\rho)_{eff} = -i\eta_m [(p - p_{c2}) / (p_{c2} - p_{c1})]^{1/2}$$

5- Função de onda do BEC de magnons

Equação para a função de onda do BEC

$$i \frac{dc_k}{dt} = (\omega_k - i\eta_m) c_k - |h\rho|_{\text{eff}} e^{-i2\omega_{k_0}t} c_{-k}^+ + V_{(4)} \sum_{2,3,4} (c_2^+ c_3 c_4 + c_2^+ c_3 c_4 + c_2^+ c_3 c_4 + c_2^+ c_3 c_4) \Delta(\vec{k})$$

Como $m^+ \propto |\alpha_k| = \langle n_k \rangle^{1/2}$

define a função de onda do BEC

$$\psi(\vec{r}, t) = \frac{1}{V^{1/2}} \sum_k e^{i\vec{k} \cdot \vec{r}} \alpha_k$$



$$\int d^3r \psi^* \psi = \sum_k n_k = N_0$$

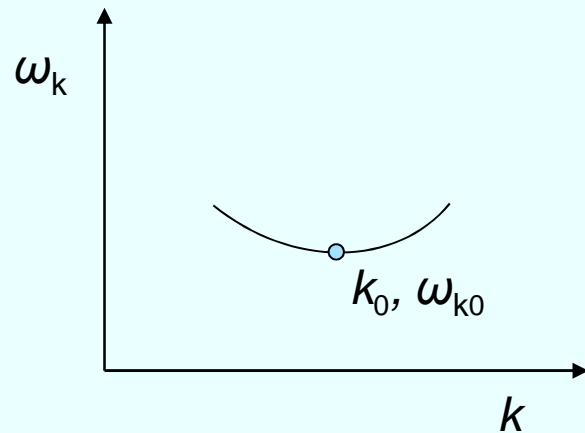
Envelope da f.o. em sist. girante

$$\psi(\vec{r}, t) = 2 \cos(\vec{k}_0 \cdot \vec{r}) \psi_0(\vec{r}, t) e^{-i\omega_{k_0}t}$$

$$\psi_0(\vec{r}, t) = \frac{e^{i\omega_{k_0}t}}{V^{1/2}} \sum_{\delta k} e^{i\delta \vec{k} \cdot \vec{r}} \alpha_k$$

$$\vec{k} = \vec{k}_0 + \delta \vec{k}$$

5- Função de onda do BEC de magnons



$$\omega_k \cong \omega_{k_0} + \lambda_x k_x^2 + \lambda_z k_z^2$$

$$\lambda_x = \frac{1}{2} \left[\frac{\partial^2 \omega_k}{\partial k_x^2} \right]_{k_0}$$

$$\lambda_z = \frac{1}{2} \left[\frac{\partial^2 \omega_k}{\partial k_z^2} \right]_{k_0}$$

Usa na interação de 4 magnons

$$2\omega_{k_0} = \omega_{k_0 + \delta k} + \omega_{k_0 - \delta k}$$

$$i \frac{\partial \psi_0}{\partial t} = -i\eta_m \psi_0 - \lambda_x \frac{\partial^2 \psi_0}{\partial x^2} - \lambda_z \frac{\partial^2 \psi_0}{\partial z^2} + 2V_{(4)} V |\psi_0|^2 \psi_0 - |h\rho|_{eff} \psi_0^*$$

Equação de Gross-Pitaevskii (como em BEC de gas atômico)

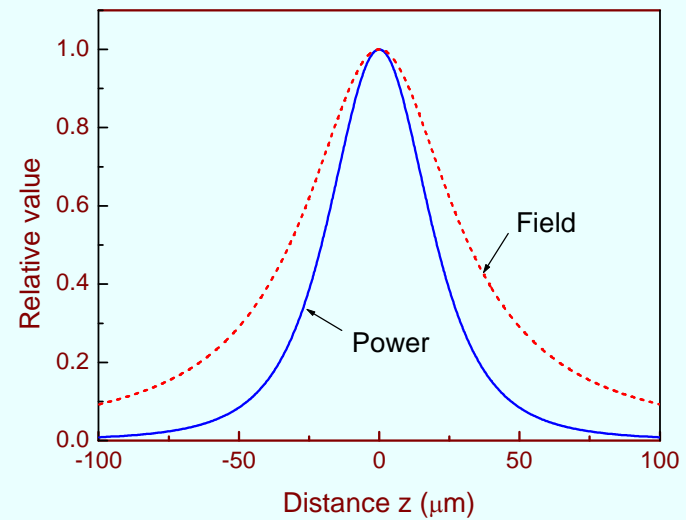
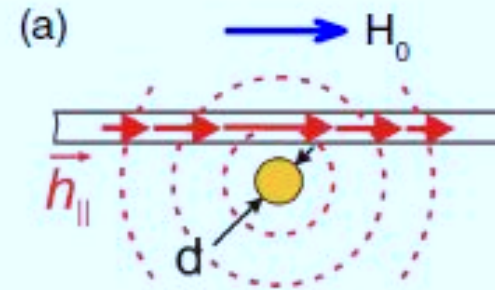
5- Função de onda do BEC de magnons

com
$$p_{k0}^2 = \frac{N_0^2}{V \int d^3 r |\psi_0|^2} \implies \psi_0 = \sqrt{N_0} \chi(z)$$

Mesmo de antes
$$N_0 = p_{k0} n_H \frac{(p - p_{c2})^{1/2}}{(p_{c2} - p_{c1})^{1/2}}$$

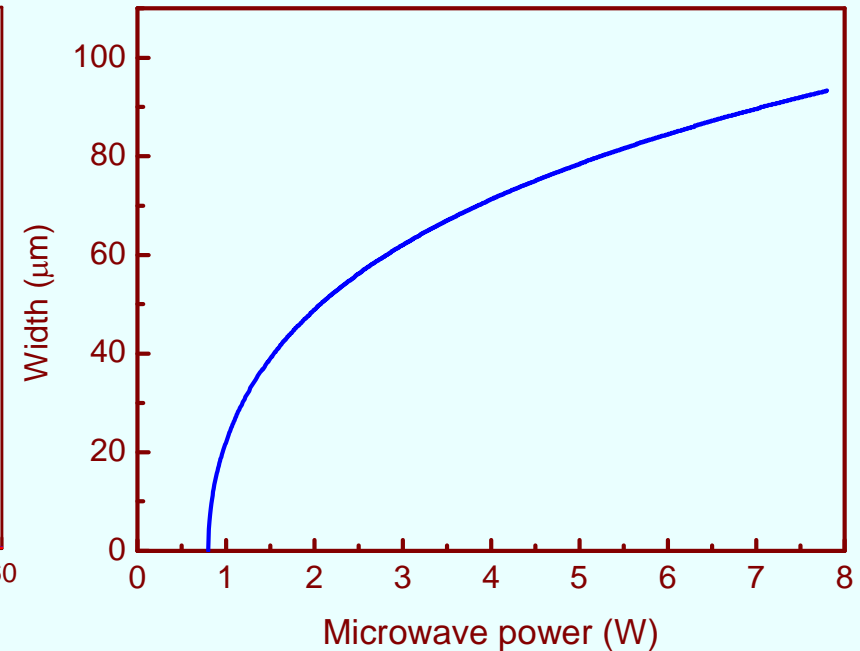
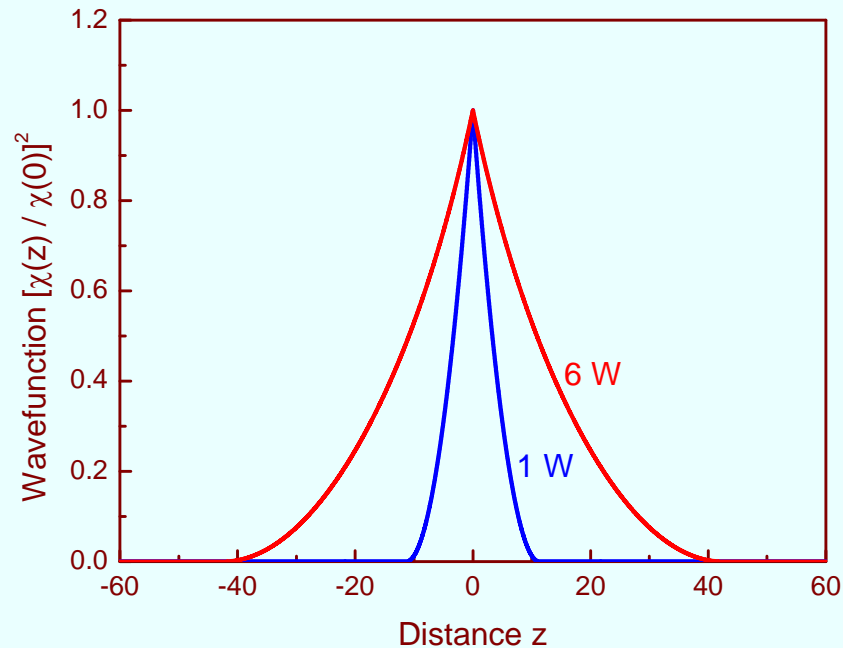
$$\lambda_z \frac{d^2 \chi}{dz^2} - b |\chi|^2 \chi = 0$$

$$b = \eta_m (p / p_{c2} - 1)^{1/2}$$



5- Função de onda do BEC de magnons

Integração numérica leva a



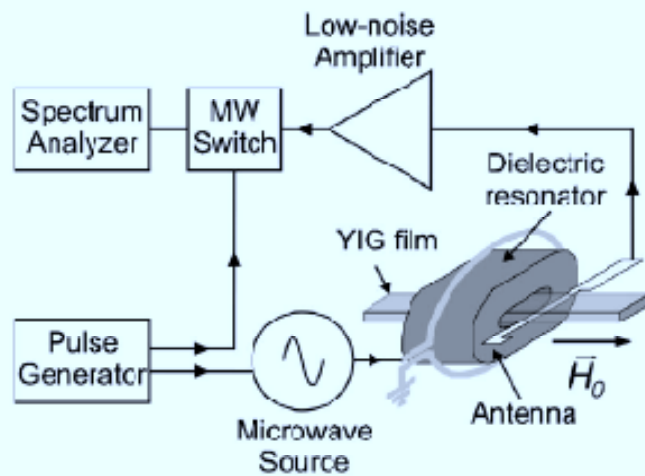
Largura da distribuição espacial aumenta com o aumento da potência de micro-ondas (como observado experimentalmente)

Obrigado mais uma vez

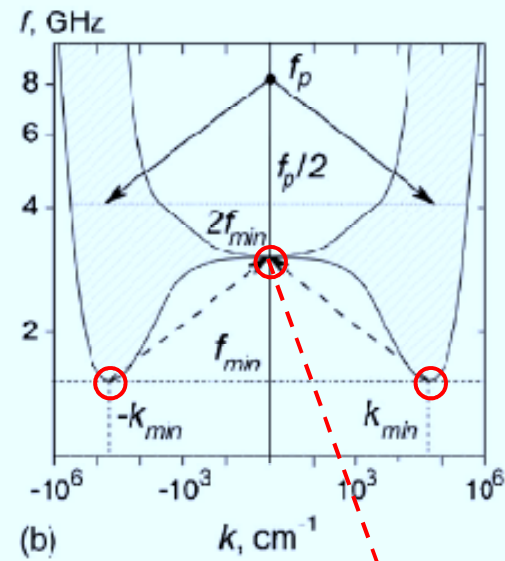
Outros experimentos de Demokritov *et al.*

O. Dzyapko *et al.*, Appl. Phys. Lett. 92, 162510 (2008).

Emissão de sinal coerente de micro-ondas com frequência $2 f_{\min}$

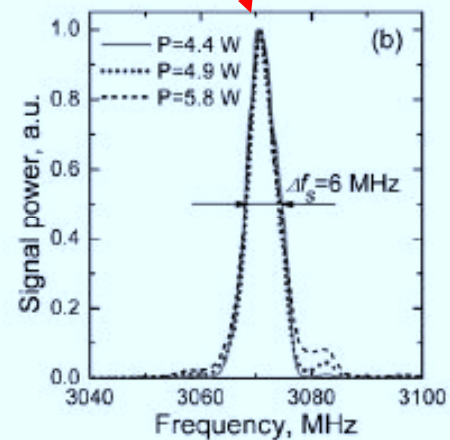
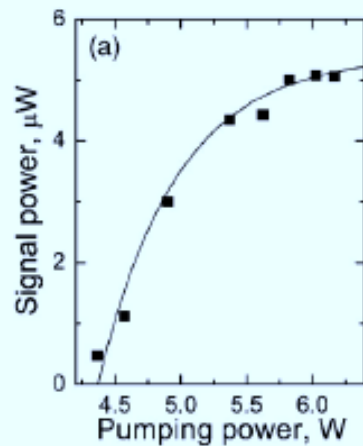


(a)



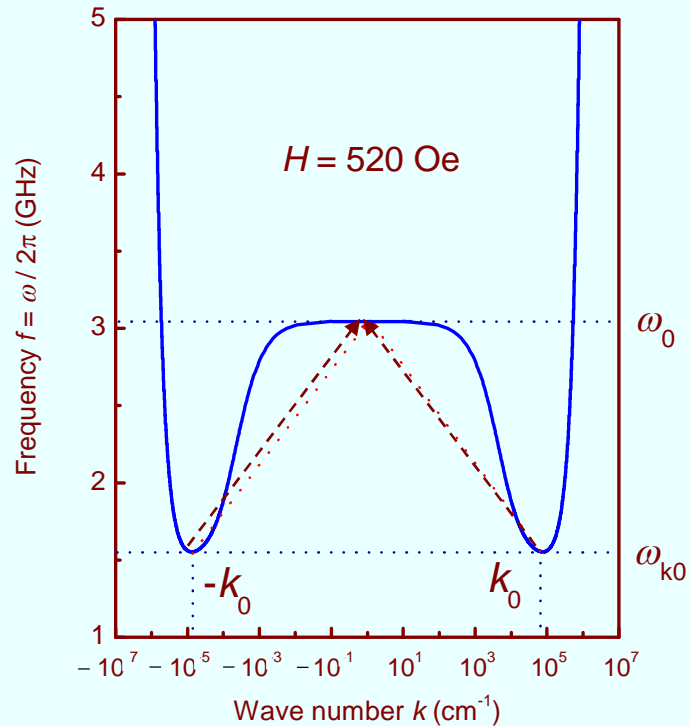
(b)

$H = 520 \text{ Oe}$



6- Comparação da teoria com os experimentos

Emissão de micro-ondas em $2 f_{\min}$



$$H = H_0 + H^{(3)} + H^{(4)} + H'_{eff}(t)$$

$$H^{(3)} = \hbar V_{(3)} c_0^+ c_{k_0} c_{-k_0} + hc. \quad V_{(3)} = \omega_M / (2SN)^{1/2}$$

$$\frac{dc_0}{dt} = -(i\omega_0 + \eta_0 + iV_{(4)} n_0) c_0 - iV_{(3)} c_{k_0} c_{-k_0}$$

$$\frac{dc_{k_0}}{dt} = -(i\omega_{k_0} + \eta_{k_0} + i2V_{(4)} n_{k_0}) c_{k_0} - i[V_{(3)} c_0 + (h\rho)_{eff} e^{-i2\omega_{k_0} t}] c_{-k_0}^+$$

6- Comparação da teoria com os experimentos

Pode-se mostrar que se magnons $k_0, -k_0$ são coerentes, os magnons com $k = 0$ também estão em estados coerentes

S.M.R., Phys. Rev. B 79, 060410(R) (2009)

$$\sigma_{k0} = \alpha_{k0} \alpha_{-k0}$$

Sistema girante

$$\omega_0 = 2\omega_{k0}$$

$$\frac{d\alpha_0}{dt} = -(\eta_0 + iV_{(4)} n_0) \alpha_0 - ip_{k0} V_{(3)} \sigma_{k0}$$

$$\frac{d\sigma_{k0}}{dt} = -2(\eta_{k0} + i2V_{(4)} n_{k0}) \sigma_{k0} - i2[V_{(3)} \alpha_0 / p_{k0} + (h\rho)_{eff}] n_{k0}$$

6- Comparação da teoria com os experimentos

Emissão de micro-ondas em $2 f_{\min}$

Potência de micro-ondas emitida
por magnetização em precessão

$$P = \frac{2 N^2 \Omega^2 \omega_0^4}{3 c^3} (m_x^2 + m_y^2)$$



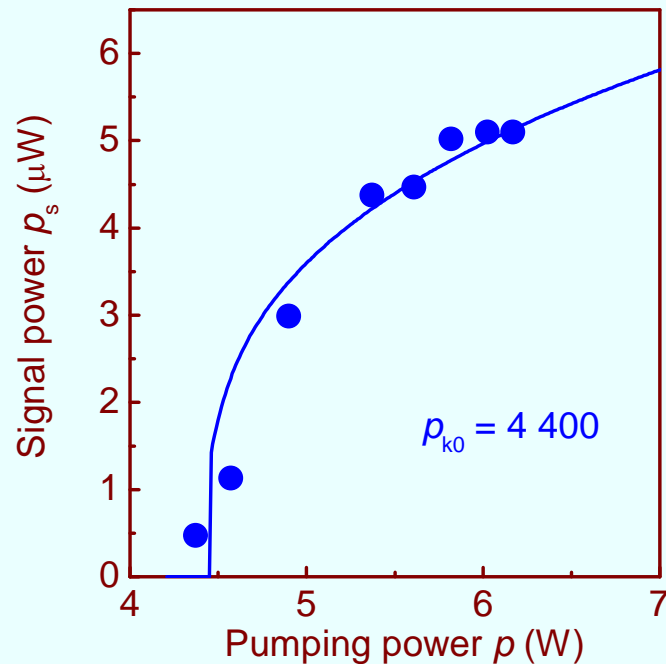
$$\langle P \rangle \cong \frac{V^2 \omega_0^4 M^2}{c^3} \frac{n_0}{NS}$$

6- Comparação da teoria com os experimentos

Emissão de micro-ondas

Bombeio coerente

Data- O. Dzyapko *et al.*, Appl. Phys. Lett. **92**, 162510 (2008).



Fit com

$$p_s = C n_0 / NS$$

Bombeio incoerente

Data- A.V. Chumak *et al.*, Phys. Rev. Lett. **102**, 187205 (2009)

